

LATITUDE INTEGRATION ŠPECIFIKÁCIA IDCO

LATITUDE™

LATITUDE Systém Monitorovania Pacienta

Остаряла версия. Да не се използва.
Zastaralá verze. Nepoužívat.
Forældet version. Må ikke anvendes.
Version überholt. Nicht verwenden.
Aegunud versioön. Mην την χρησιμοποιείτε.
Παλιά έκδοση. Μην την χρησιμοποιείτε.
Outdated version. Do not use.
Versión obsoleta. No utilizar.
Version périmée. Ne pas utiliser.
Zastarjela verzija. Nemojte upotrebljavati.
Úrejt útgáfa. Notið ekki.
Versione obsolete. Non utilizzare.
Pasenusi versija. Nenaudokite.
Elavult verzió. Ne használja!
Dit is een verouderde versie. Niet gebruiken.
Utdatert versjon. Skal ikke brukes.
Wersja przeterminowana. Nie używać.
Versão obsoleta. Não utilize.
Versiune expirată. A nu se utiliza.
Zastaraná verzia. Nepoužívať.
Zastarela različica. Ne uporabite.
Vanhentunut versio. Älä käytä.
Föråldrad version. Använd ej.
Güncel olmayan sürüm. Kullanmayın.

Остаряла версия. Да не се използва.
Zastaralá verze. Nepoužívát.
Forældet version. Må ikke anvendes.
Version überholt. Nicht verwenden.
Aegunud versioón. Myn þyn Χρησιμοποιείτε.
Παλιά έκδοση. Μην την χρησιμοποιείτε.
Outdated version. Do not use.
Version obsoleta. Ne utilizar.
Zastarjela verzija. Nemojte upotrebljavati.
Úrelt útgáfa. Notið ekki.
Versione obsoleta. Non utilizzare.
Zastarjela verzija. Neizmantot.
Úreitt útgáfa. Notið ekki.
Novcojusi versija. Nenaudokite.
Pasenusi versija. Ne használjátok!
Elavult verzió. Ne használjatok!
Dit is een verouderde versie. Niet gebruiken.
Utdatert versjon. Skal ikke brukes.
Wersja przeterminowana. Nie używać.
Versão expiratã. Não utilize.
Zastaraná verzia. Nepoužívát.
Zastarela različica. A nu se utiliza.
Vanhentunut versio. Älä käytä.
Föråldrad version. Använd ej.
Güncel olmayan sürüm. Kullanmayın.

O TOMTO MANUÁLI

Diaľkový systém monitorovania pacienta Boston Scientific LATITUDE generuje hlásenia Implantabilné zariadenie – srdce – observácia (IDCO) v súlade so špecifikáciami a definíciami uvádzanými v tomto dokumente. Hlásenia sú kompatibilné s profilom Integrating the Healthcare Enterprise (IHE) Patient Care Device (PCD) Technical Framework IDCO. Tieto hlásenia slúžia na prenos údajov pacienta do systému na elektronické zdravotnícke záznamy (EMR).

Tento dokument je určený používateľom systému Boston Scientific (BSC) LATITUDE, ktorí (1) integrujú hlásenia IDCO do systému EMR a (2) používajú systémy EMR na sledovanie a správu údajov pacienta.

Prvá časť tohto dokumentu („Špecifikácie hlásení LATITUDE IDCO“) je primárne určená technickému personálu, ktorý bude zaisťovať integráciu hlásení. Druhá časť („Konverzia údajov implantovaného zariadenia do hlásení IDCO“) je primárne určená klinickým pracovníkom ako ďalšie objasnenie verzie údajov spoločnosti Boston Scientific, ktoré sú súčasťou hlásenia.

POZNÁMKY: Predpokladáme, že čitatelia tohto dokumentu poznajú terminológiu HL7 a IDCO, syntax špecifikácií, typy údajov, štruktúry hlásení a sémantiku správ IDCO. Viac informácií nájdete na nasledujúcich stránkach:

- www.hl7.org – hlásenia HL7
- www.ihe.net – hlásenia IDCO
- http://ihe.net/Technical_Framework/index.cfm#pcd – PCD-09 Technical Framework (pozostáva zo zväzkov 1, 2 a 3)
- <http://standards.ieee.org/findstds/standard/11073-10103-2012.html> – nomenklatúra IEEE IDCO

Nižšie sú uvedené ochranné známky spoločnosti Boston Scientific Corporation alebo jej pridružených spoločností: LATITUDE, LATITUDE Clarity a RHYTHIQ.

Остаряла версия. Да не се използва.
Zastaralá verze. Nepoužívát.
Forældet version. Må ikke anvendes.
Version überholt. Nicht verwenden.
Aegunud versioön. Myn þyn Χρησιμοποιείτε.
Παλιά έκδοση. Μην την χρησιμοποιείτε.
Outdated version. Do not use.
Version obsoleta. Ne utilizar.
Zastarjela verzija. Nemojte upotrebljavati.
Úrelt útgáfa. Notið ekki.
Versione obsoleta. Non utilizzare.
Zastarjela verzija. Neizmantot.
Úreitt útgáfa. Notið ekki.
Pasenusi versija. Nenaudokite.
Elavult verzió. Ne használja!
Utdatert versjon. Niet gebruiken.
Wersja przeterminowana. Nie używać.
Versão expiratã. A nu se utiliza.
Versiune expiratã. A nu se utiliza.
Zastaraná verzia. Nepoužívát.
Zastarela različica. Ne uporabite.
Vanhentunut versio. Älä käytä.
Föråldrad version. Använd ej.
Güncel olmayan sürüm. Kullanmayın.

OBSAH

ŠPECIFIKÁCIE HLÁSENÍ LATITUDE IDCO	1-1
KAPITOLA 1	
Špecifikácie hlásení Latitude IDCO	1-2
Štruktúra segmentu	1-2
Štruktúra segmentu MSH	1-2
Štruktúra segmentu PID	1-2
Štandardný identifikátor pacienta IDCO (prvý identifikátor v zozname)	1-2
ID pacienta Latitude (druhý identifikátor v zozname)	1-2
Štruktúra segmentu PV1	1-3
Štruktúra segmentu PV2	1-3
Štruktúra segmentu OBR	1-3
Štruktúra segmentu OBX	1-3
Parametre výstupu	1-4
Štruktúra segmentu NTE	1-4
Správy	1-5
Konfigurácia	1-5
Úvodná správa EGM/správa zóny výboja	1-6
Správa s podrobnosťami udalosti	1-6
Kombinovaná kontrolná správa	1-6
Správa záznamov arytmií	1-6
Správa starostlivosti pri zlyhavaní srdca	1-7
Kontrolná správa	1-7
Názvy správ v hlásení	1-7
Základné pojmy	1-7
KONVERZIA ÚDAJOV IMPLANTOVANÉHO ZARIADENIA DO HLÁSENÍ IDCO	2-1
KAPITOLA 2	
Stav batérie	2-2
SET_BRADY_SENSOR_TYPE	2-2
Mapovanie typu zóny	2-2
Mapovanie epizód	2-3
Mapovanie počítadiel	2-5
Mapovanie konfigurácie elektródy	2-7
Obmedzenia systému	2-8
Definície výstrah a varovaní	2-8
PRÍKLAD SÚBOROV IDCO	3-1
KAPITOLA 3	

Príklad súborov IDCO	3-2
Ukážkové hlásenie 1 – Zariadenie S S-ICD	3-2
Ukážkové hlásenie 2 – zariadenie ICM.....	3-4
Ukážkové hlásenie 3 – Ostatné liečebné zariadenia (nie S-ICD).....	3-7
SYMBOLY NA ŠTÍTKOCH	A-1
PRÍLOHA A	

Остаряла версия. Да не се използва.
 Zastaralá verze. Nepoužívat.
 Forældet version. Må ikke anvendes.
 Version überholt. Nicht verwenden.
 Version obsolete. Mην την χρησιμοποιείτε.
 Παλιά έκδοση. Μην την χρησιμοποιείτε.
 Outdated version. Do not use.
 Versión obsoleta. No utilizar.
 Version périmée. Ne pas utiliser.
 Zastarjela verzija. Nemojte upotrebljavati.
 Úrejt utgáfa. Notið ekki.
 Versione obsoleta. Non utilizzare.
 Zastarjela verzija. Neizmantot.
 Úrejt utgáfa. Notið ekki.
 Pasenusi versija. Nenaudokite.
 Elavult verzió. Ne használja!
 Dit is een verouderde versie. Niet gebruiken.
 Utdatert versjon. Skal ikke brukes.
 Wersja przeterminowana. Nie używać.
 Versão obsoleta. Não utilize.
 Zastaraná verzia. A nu se utiliza.
 Zastarela različica. Nie uporabite.
 Vanhentunut versio. Älä käytä.
 Föråldrad version. Använd ej.
 Güncel olmayan sürüm. Kullanmayın.

ŠPECIFIKÁCIE HLÁSENÍ LATITUDE IDCO

KAPITOLA 1

Táto kapitola obsahuje nasledujúce témy:

- "Špecifikácie hlásení Latitude IDCO" na strane 1-2
- "Štruktúra segmentu" na strane 1-2
- "Štruktúra segmentu MSH" na strane 1-2
- "Štruktúra segmentu PID" na strane 1-2
- "Štruktúra segmentu PV1" na strane 1-3
- "Štruktúra segmentu PV2" na strane 1-3
- "Štruktúra segmentu OBR" na strane 1-3
- "Štruktúra segmentu OBX" na strane 1-3
- "Parametre výstupu" na strane 1-4
- "Štruktúra segmentu NTE" na strane 1-4
- "Správy" na strane 1-5
- "Základné pojmy" na strane 1-7

ŠPECIFIKÁCIE HLÁSENÍ LATITUDE IDCO

Hlásenie LATITUDE IDCO je hlásenie PCD-09 podľa normy IHE PCD Technical Framework Revision 3.0 z 11. októbra 2013. Podľa technického rámca je toto hlásenie štandardným hlásením HL7 v2.6 s nevyžiadanými príkazmi a observáciami. Obsahuje observácie implantovaného zariadenia a je kódované na základe nomenklatúry ISO/IEEE 11073-10103:2014 IDC. Tento medzinárodný štandard popisuje univerzálny model interoperability zdravotníckych elektronických údajov.

Pojmy v úvodzovkách v stĺpcoch s hodnotami uvádzané v nasledujúcich tabuľkách predstavujú pevne stanovené hodnoty, ktoré budú mať vždy zobrazený charakter. Pojmy bez úvodzoviek sú príklady alebo popisy hodnôt.

ŠTRUKTÚRA SEGMENTU

Všetky údaje sa odosielajú podľa štandardu PCD-09. Informácie v tejto časti definujú výstup BSC v hláseniach IDCO. Nie sú vyčerpávajúce a ich cieľom takisto nie je širšie definovať nomenklatúru IDCO.

ŠTRUKTÚRA SEGMENTU MSH

Segment MSH obsahuje informácie o odosielateľovi a príjemcovi správy, type hlásenia, časovú známku atď. Jedná sa o prvý segment správy IDCO.

NÁZOV PRVKU	SEQ	SUB SEQ	HODNOTA
Odosielajúca aplikácia	3		"LATITUDE"
Odosielajúce pracovisko	4		"BOSTON SCIENTIFIC"
Prijímajúce pracovisko	6		Názov klinického pracoviska LATITUDE
Znakový súbor	18		"UNICODE UTF-8"

ŠTRUKTÚRA SEGMENTU PID

Segment PID obsahuje informácie identifikátora pacienta ako meno, kódy ID, PSČ atď. Tieto informácie slúžia na priradenie pacientov.

System LATITUDE umožňuje klinickému pracovisku (voliteľne) pridať svoje vlastné ID pacienta. Voliteľné ID pacienta je uvedené v exportovanom hlásení IDCO. Ak toto ID pacienta definované klinickým pracoviskom použijete, bude uvedené v zozname identifikátorov pacienta (sekvencia 3) ako text nasledujúci po znaku vlnovky (-).

Štandardný identifikátor pacienta IDCO (prvý identifikátor v zozname)

NÁZOV PRVKU	SEQ	SUB SEQ	HODNOTA
Identifikátor pacienta	3		
Priradenie právomocí	3	4	"BSX"

ID pacienta Latitude (druhý identifikátor v zozname)

NÁZOV PRVKU	SEQ	SUB SEQ	HODNOTA
Zoznam identifikátorov pacienta	3		
Číslo ID	3	1	ID pacienta LATITUDE
Priradenie právomocí	3	4	Názov klinického pracoviska LATITUDE
Kód typu identifikátora	3	5	"U"

Príklad:

PID|1|model:N119/serial:123456^^^BSX^U~{LATITUDE Patient ID} ^^^{LATITUDE Clinic Name}^U||PatientLastName^PatientFirstName ^^^^^||19550116|U|...

ŠTRUKTÚRA SEGMENTU PV1

Segment PV1 (návšteva pacienta) obsahuje informácie o ošetrojúcom lekárovi pacienta.

NÁZOV PRVKU	SEQ	SUB SEQ	HODNOTA
Trieda pacienta	2		"R"

ŠTRUKTÚRA SEGMENTU PV2

Segment PV2 (návšteva pacienta 2) obsahuje informácie o pacientovej skupine LATITUDE.

NÁZOV PRVKU	SEQ	SUB SEQ	HODNOTA
Názov organizácie (skupiny)	23	1	Názov skupiny LATITUDE Príklad: Kardiológia
číslo ID (pacientova primárna alebo sekundárna skupina)		3	1 Pozri poznámku a

a. Ak je súbor HL7 asociovaný s primárnou skupinou LATITUDE, bude táto hodnota „1“. Ak je asociovaný so sekundárnou skupinou LATITUDE, bude hodnota „2“.

ŠTRUKTÚRA SEGMENTU OBR

Segmenty OBR sú hlavičky časti pre individuálne segmenty interogačných informácií OBX. Obsahujú údaje ako časové známky, identifikátor správy a unikátny identifikátor vygenerovaný systémom.

NÁZOV PRVKU	SEQ	SUB SEQ	PRÍKLAD HODNOTY
Univerzálny identifikátor služieb	4		
Identifikátor		1	754053
Text		2	Pozri poznámku a
Č. dátumu/času observácie	7		20060429080005+0000 Pozri poznámku b
Stav výsledku	25		"F" Pozri poznámku c

- Text univerzálneho identifikátora služieb bude mať formu MDC_IDC_ENUM_SESS_TYPE {session type} (e.g., MDC_IDC_ENUM_SESS_TYPE_RemoteScheduled).
- Dátum/čas observácie bude zapísaný ako časová známka informujúca, kedy prebehla interogácia implantovaného zariadenia. Časová známka bude zodpovedať časovej zóne nastavenej pre pacienta.
- Stav výsledku bude „F“ (finálne výsledky).

ŠTRUKTÚRA SEGMENTU OBX

Segmenty OBX obsahujú údaje získané pri poslednej interogácii zariadenia.

NÁZOV PRVKU	SEQ	SUB SEQ	HODNOTA
Stav výsledku observácie	11		"F" Pozri poznámku a
Dátum/čas observácie	14		20060317170000+0000 Pozri poznámku b

- Stav výsledku bude „F“ (finálne výsledky).
- Dátum merania bude zahrnutý, ak sa líši od dátumu observácie v OBR.

PARAMETRE VÝSTUPU

- Reťazce budú odosielané v jazyku nakonfigurovanom pre klinické pracovisko v systéme LATITUDE.
- Odosielané numerické hodnoty budú vždy používať ako rádový oddeľovač bodku „.“ (tzn. desatinnú bodku).

ŠTRUKTÚRA SEGMENTU NTE

- Zariadenia ICM
 - Ak nastane stav vypnutého monitorovania, jeho NTE bude predchádzať jednému alebo viacerým varovným NTE. Jedno varovné NTE stavu vypnutého monitorovania bude obsahovať jeden alebo viac stavov vypnutého monitorovania.
 - Ak existuje výstraha na udalosť, existuje jedno NTE pre počet výstrah na udalosť. Príklad:
NTE|3|2 red event alerts, 3 yellow event alerts (2 červené výstrahy na udalosť, 3 žlté výstrahy na udalosť)
 - Ak existuje iná výstraha než výstraha na udalosť, každá výstraha bude mať svoje NTE.
- Zariadenia S-ICD
 - Ak sa v systéme aktivuje varovanie, varovné NTE bude predchádzať všetkým ostatným NTE. Jedno varovné NTE obsahuje jedno alebo viac varovaní.
 - Ak sa nevyskytne žiadne varovanie a zariadenie je v režime, v ktorom nie sú nastavenia relevantné (napr. režim MRI), prvé NTE obsahuje informácie o aktuálnom stave zariadenia. Príklad:
NTE|1||Beeper is currently Disabled.\.br\\.br\The Device is in MRI Protection Mode.\.br\Start time: Sep 04, 2015 00:45 CDT.\.br\Scheduled time-out: Sep 04, 2015 06:45 CDT.\.br\After MRI Protection mode is exited, Therapy will be ON. (Zvuková signalizácia je aktuálne zakázaná. Zariadenie je v režime ochrany pri MRI. Čas začatia: 4. septembra 2015 00:45 CDT. Plánovaný časový interval vypnutia: 4. septembra 2015 06:45 CDT. Po ukončení režimu ochrany pri MRI bude liečba ZAPNUTÁ.)
 - Ak sa nevyskytne žiadne varovanie a zariadenie je v režime, v ktorom sú nastavenia relevantné, prvé NTE obsahuje informácie o nastaveniach vo formáte *štítok:hodnota* s jednotlivými nastaveniami oddelenými riadkami (\.br\). Príklad:
NTE|1||Sensing Configuration: Primary.\.br\Gain Setting: 2X.\.br\Post Shock Pacing: ON
(Konfigurácia snímania: primárna. Nastavenie zosilnenia: 2x. Stimulácia po výboji: ZAPNUTÁ)
 - Ak je zariadenie v režime, v ktorom sú nastavenia relevantné, ale zvuková signalizácia je deaktivovaná, prvé NTE obsahuje informácie o nastaveniach vo formáte *štítok:hodnota* s jednotlivými nastaveniami oddelenými riadkami (\.br\). Príklad:
NTE|1||Sensing Configuration: Primary.\.br\Gain Setting: 2X.\.br\Post Shock Pacing: ON
(Konfigurácia snímania: primárna. Nastavenie zosilnenia: 2x. Stimulácia po výboji: ZAPNUTÁ)
 - Druhé NTE obsahuje stav deaktivovanej zvukovej signalizácie.
 - Každá aktivovaná výstraha má svoje NTE.

- Všetky ostatné zariadenia
 - Ak sa v systéme aktivuje varovanie, varovné NTE bude predchádzať jeden alebo viac varovných NTE. Jedno varovné NTE obsahuje jedno alebo viac varovaní.
 - Každá aktivovaná výstraha má svoje NTE.

SPRÁVY

Konfigurácia

Obsah hlásenia IDCO je konfigurovateľný cez internetovú stránku LATITUDE nasledovne:

Možnosť konfigurácie	LATITUDE NXT		LATITUDE Clarity
	Kardiostimulátor, defibrilátor, CRT	S-ICD	ICM
Maximálna veľkosť výstupného súboru	X	X	X
Kedy odoslať údaje	X	X	X
Konfigurácia správy			
Zahrnúť súbory PDF	X	X	X
Jeden alebo viacero súborov PDF	X	X	X
Ktoré správy zahrnúť			X
Histogramy a trendy vo Follow-up Reporte			X
Zóna výboja pre príznak + epizódy detegované zariadením			X

- Maximálna veľkosť výstupného súboru: Maximálna veľkosť výstupného súboru hlásenia IDCO v MB. Súbory PDF s podrobnosťami k udalostiam nebudú zahrnuté v hlásení, čo je nutné, aby sa dosiahla veľkosť súboru pod maximálnym limitom.
- Kedy odoslať údaje:
 - LATITUDE NXT: Údaje odoslať pri príchode alebo manuálne.
 - LATITUDE Clarity: Údaje odoslať pri príchode, manuálne alebo pri prepustení, individuálne pre každý dôvod (napr. naplánované, spustené pacientom, denne s výstrahou atď.).
- Zahrnúť súbory PDF: Zahrnúť alebo nezahrnúť súbory PDF správy do hlásenia.
 - Jeden alebo viacero súborov PDF: Ak sú súbory PDF zahrnuté, skombinujte všetky správy do jedného súboru PDF alebo odošlite ako jednotlivé súbory PDF.
- Ktoré správy zahrnúť: Ktoré z možných správ (Kontrola, Úvodná zóna výboja, Podrobnosti k udalostiam) zahrnúť do hlásenia.
- Histogramy a trendy vo Follow-up Reporte: Určuje, či histogramy a trendy budú zahrnuté vo Follow-up Reportoch.
- Zóna výboja pre príznak + epizódy detegované zariadením: Pre príznak + epizódy detegované zariadením zahrnúť iba zariadením detegovanú zónu výboja vo formáte PDF alebo zahrnúť celú kombinovanú zónu výboja s príznakom a detegovanú zariadením.

Následujúce správy môžu byť zahrnuté do hlásenia IDCO pre kategórie implantovateľných zariadení:

Typ správy	LATITUDE NXT		LATITUDE Clarity
	Kardiostimulátor, defibrilátor, CRT	S-ICD	ICM
Kombinovaná kontrola	X		
Arrhythmia Logbook (Záznamy arytmií)	X	X	
Starostlivosť pri zlyhávaní srdca	X		
Zhrnutie S-ICD		X	
Úvodný EGM/zóna výboja	X	X	X
Podrobnosti k udalostiam	X	X	X
Kontrola			X

Úvodná správa EGM/správa zóny výboja

Ak je prezentujúca správa EGM/správa zóny výboja k dispozícii v údajovej časti z implantovaného zariadenia, bude pripojená k hláseniu vo formáte PDF. Ak je konfigurácia hlásení IDCO nastavená na odosielanie samostatných správ PDF, bude správa PDF spojená s príslušnou epizódou APMRT pomocou skupinového ID (OBX-4) epizódy APMRT.

Správa s podrobnosťami udalosti

Ak interogácia prijatá z implantovaného zariadenia obsahuje jednu alebo viac epizód, pre každú epizódu sa odošle správa s podrobnosťami udalosti vo formáte PDF. Ak je konfigurácia hlásení IDCO nastavená na odosielanie samostatných správ PDF, je každý súbor PDF spojený s príslušnou skupinou (MDC_IDC_EPISODE) epizód pomocou skupinového ID (OBX-4). V snahe obmedziť veľkosť súboru EMR a počet epizód, ktoré sú súčasťou hlásenia, epizóda nemusí mať vždy pripojený súbor PDF. Ak je počet epizód v súbore PDF obmedzený, systém sa pokúsi vyvážiť ich počet tak, že súbory PDF budú obsahovať typy epizód s vyššou prioritou a niektoré s nižšou prioritou. Ak je konfigurácia hlásení IDCO nastavená na odosielanie samostatných správ PDF, bude názov epizódy vrátane ID epizódy zahrnutý v hlásení (pozrite si podrobnosti v časti „Názvy správ v hlásení“ v tomto dokumente). Príklad:

```
OBX|18|CWE|739568^MDC_IDC_EPISODE_TYPE^MDC|2|754883
^MDC_IDC_ENUM_EPISODE_TYPE_Epis_ATAF^MDC|||0|F
OBX|19|CWE|739600^MDC_IDC_EPISODE_VENDOR_TYPE^MDC|2|771078
^MDC_IDC_ENUM_EPISODE_VENDOR_TYPE_BSX-Epis_ATR^MDC|||1|F
OBX|20|NM|739616^MDC_IDC_EPISODE_ATRIAL_INTERVAL_AT_DETECTION
^MDC|2|247|ms|||F
OBX|21|NM|739712^MDC_IDC_EPISODE_DURATION^MDC|2|4|s|||F
OBX|22|ED|18750-0^Cardiac Electrophysiology Report (Správa srdcovej
elektrofyziológie)^LN ^^ATR-44 - Event Detail
Report (Správa s podrobnosťami k udalostiam)|2|Application^PDF^^Base64^
{base 64 encoded PDF here} (base 64 kódované PDF tu)|||F
|||201606010918-0500
```

POZNÁMKA: Ako príklad použite rovnaký formát, ktorý je uvedený v časti „Názvy správ v hlásení“.

Kombinovaná kontrolná správa

Kombinovaná kontrolná správa sa k hláseniu pripája vo formáte PDF.

Správa záznamov arytmií

Správa záznamov arytmií sa k hláseniu pripája vo formáte PDF.

Správa starostlivosti pri zlyhávaní srdca

Správa starostlivosti pri zlyhávaní srdca sa k hláseniu pripája vo formáte PDF.

Kontrolná správa

Kontrolná správa sa k hláseniu pripája vo formáte PDF.

Názvy správ v hlásení

Každý segment OBX bude obsahovať názov správy v OBX-3.5. Príklad:

```
OBX|51|ED|18750-0^Cardiac Electrophysiology Report^LN^Combined Follow-up Report|(Application^PDF^^Base64^{base 64 encoded PDF here}|...
```

ZÁKLADNÉ POJMY

V nasledujúcej tabuľke nájdete zoznam nomenklatúrnych pojmov, ktoré môžu byť súčasťou hlásenia BSC IDCO.

REFERENCE IDPREPEND MDC IDC_	Názov obrazovky
DEV	Implantovateľné srdcové zariadenie
_TYPE	Typ implantabilného srdcového zariadenia
_MODEL	Model implantabilného srdcového zariadenia
_SERIAL	Výrobné číslo implantabilného srdcového zariadenia
_MFG	Výrobca implantabilného srdcového zariadenia
_IMPLANT_DT	Dátum implantácie implantabilného srdcového zariadenia
_IMPLANTER	Osoba, ktorá vykonala implantáciu implantovateľného srdcového zariadenia
_IMPLANTER_CONTACT_INFO	Kontaktné informácie osoby, ktorá vykonala implantáciu implantovateľného srdcového zariadenia
_IMPLANTING FACILITY	Implantačné pracovisko, kde bola vykonaná implantácia implantovateľného srdcového zariadenia
LEAD	Vlastnosti implantovateľnej elektródy
_MODEL	Model implantabilnej elektródy
_SERIAL	Výrobné číslo implantabilnej elektródy
_MFG	Výrobca implantabilnej elektródy
_IMPLANT_DT	Dátum implantácie implantabilnej elektródy
_POLARITY_TYPE	Typ polarity implantabilnej elektródy
_LOCATION	Poloha implantabilnej elektródy
_LOCATION_DETAIL_1	Detail 1 implantabilnej elektródy
SESS	Interogačná relácia
_DTM	Dátum a čas interogačnej relácie
_TYPE	Typ interogačnej relácie
_CLINIC_NAME	Názov klinického pracoviska
MSMT	Merania

_BATTERY	Merania batérie
_DTM	Dátum a čas meraní batérie
_STATUS	Stav batérie
_REMAINING_LONGEVITY	Zostávajúca životnosť batérie
_REMAINING_PERCENTAGE	Zostávajúca percentuálna časť energie batérie
_CAP	Merania kondenzátora
_CHARGE_DTM	Dátum a čas posledného nabitia kondenzátora
_CHARGE_TIME	Čas nabitia kondenzátora
_CHARGE_TYPE	Typ nabitia kondenzátora
CHARGE_ENERGY	Energia nabíjania
LEADCHNL_[CHAMBER]	Merania kanálu elektródy
DTM[STRTEND]	Dátum a čas meraní kanálu elektródy
LEAD_CHANNEL_STATUS	Stav kanálu elektródy
_SENSING	Merania snímania kanálu elektródy
_INTR_AMPL_[MMM]	Vlastná amplitúda snímania kanálu elektródy
POLARITY	Polarita snímania kanálu elektródy
PACING_THRESHOLD	Merania stimulačného prahu kanálu elektródy
_AMPLITUDE	Amplitúda stimulačného prahu kanálu elektródy
_PULSEWIDTH	Šírka impulzu stimulačného prahu kanálu elektródy
_MEASUREMENT_METHOD	Metóda merania stimulačného prahu kanálu elektródy
_POLARITY	Polarita stimulačného prahu kanálu elektródy
_IMPEDANCE	Merania impedancie kanálu elektródy
_VALUE	Hodnota impedancie kanálu elektródy
_POLARITY	Polarita impedancie kanálu elektródy
_LEADHVCHNL	Merania vysokonapäťového kanálu elektródy
DTM[STRTEND]	Dátum a čas vysokonapäťového kanálu elektródy
_IMPEDANCE	Impedancia vysokonapäťového kanálu elektródy
_MEASUREMENT_TYPE	Typ merania vysokonapäťového kanálu elektródy
_STATUS	Stav vysokonapäťového kanálu elektródy
SET	Nastavenia
_CRT	Nastavenia CRT
_LVRV_DELAY	Omeškanie CRT LV (LK) – RV (PK)
_PACED_CHAMBERS	Komory stimulované v priebehu stimulácie CRT

LEADCHNL[CHAMBER]	Nastavenia kanálu elektródy
_SENSING	Snímanie nastavenia kanálu elektródy
_SENSITIVITY	Citlivosť snímania nastavenia kanálu elektródy
_POLARITY	Polarita snímania nastavenia kanálu elektródy
_ANODE_LOCATION_[1..3]	Poloha anódy snímania nastavenia kanálu elektródy
_ANODE_ELECTRODE_[1..3]	Anódová koncovka snímania nastavenia kanálu elektródy
_CATHODE_LOCATION_[1..3]	Poloha katódy snímania nastavenia kanálu elektródy
_CATHODE_ELECTRODE_[1..3]	Katódová koncovka snímania nastavenia kanálu elektródy
ADAPTATION_MODE	Režim adaptácie snímania nastavenia kanálu elektródy
_PACING	Stimulácia nastavenia kanálu elektródy
_AMPLITUDE	Amplitúda stimulácie nastavenia kanálu elektródy
_PULSEWIDTH	Šírka impulzu stimulácie nastavenia kanálu elektródy
POLARITY	Polarita stimulácie nastavenia kanálu elektródy
_ANODE_LOCATION_[1..3]	Poloha anódy stimulácie nastavenia kanálu elektródy
_ANODE_ELECTRODE_[1..3]	Anódová koncovka stimulácie nastavenia kanálu elektródy
_CATHODE_LOCATION_[1..3]	Poloha katódy stimulácie nastavenia kanálu elektródy
_CATHODE_ELECTRODE_[1..3]	Katódová koncovka stimulácie nastavenia kanálu elektródy
CAPTURE_MODE	Režim zachytenia stimulácie nastavenia kanálu elektródy
_BRADY	Nastavenia Brady
_MODE	Režim nastavenia Brady (kód NBG)
_LOWRATE	Spodný limit frekvencie nastavenia Brady
_SENSOR_TYPE	Typ senzora nastavenia Brady
_MAX_TRACKING_RATE	Maximálna sledovacia frekvencia nastavenia Brady
_MAX_SENSOR_RATE	Maximálna frekvencia senzora nastavenia Brady
_SAV_DELAY_[HIGHLOW]	Omeškanie SAV nastavenia Brady
_PAV_DELAY_[HIGHLOW]	Omeškanie PAV nastavenia Brady
_AT_MODE_SWITCH_MODE	Režim prepnutia režimu AT nastavenia Brady
_AT_MODE_SWITCH_RATE	Frekvencia prepnutia režimu AT nastavenia Brady
_TACHYTHERAPY	Nastavenia liečby Tachy
_VSTAT	Komorový stav nastavenia liečby Tachy
_ZONE	Nastavenia zóny

_TYPE	Kategória typu nastavenia zóny
_VENDOR_TYPE	Kategória typu predajcu nastavenia zóny
_STATUS	Stav nastavenia zóny
_DETECTION_INTERVAL	Interval detekcie nastavenia zóny
_DETECTION_DETAILS	Údaje detekcie
_TYPE_ATP_[1..10]	Typ ATP nastavenia zóny
_NUM_ATP_SEQS_[1..10]	Počet nastavení zóny sekvencií ATP
_SHOCK_ENERGY_[1..10]	Energia výboja nastavenia zóny
_NUM_SHOCKS_[1..10]	Počet nastavení zóny výbojov
STAT	Štatistika
DTM[STRTEEND]	Dátum a čas štatistiky
BRADY	Štatistika Brady
DTM[STRTEEND]	Dátum a čas štatistiky Brady
_RA_PERCENT_PACED	Percento stimulácie RA (PP) štatistiky Brady
_RV_PERCENT_PACED	Percento stimulácie RV štatistiky Brady
AT	Štatistika predsieňovej tachykardie
DTM[STRTEEND]	Dátum a čas štatistiky predsieňovej tachykardie
_BURDEN_PERCENT	Percentuálny pomer záťaže AT/AF štatistiky predsieňovej tachykardie
CRT	Štatistika CRT
DTM[STRTEEND]	Dátum a čas štatistiky CRT
_LV_PERCENT_PACED	Percento stimulácie LV (LK) štatistiky CRT
TACHYTHERAPY	Štatistika liečby tachy
_SHOCKS_DELIVERED_RECENT	Nedávno aplikované výboje
_RECENT_DTM_[STRTEEND]	Nedávny dátum a čas
_SHOCKS_DELIVERED_TOTAL	Aplikované výboje celkom
_TOTAL_DTM_[STRTEEND]	Dátum a čas celkom
_SHOCKS_ABORTED_RECENT	Nedávne výboje zrušené
_SHOCKS_ABORTED_TOTAL	Zrušené výboje celkom
_ATP_DELIVERED_RECENT	Nedávno aplikované ATP
_ATP_DELIVERED_TOTAL	Aplikované ATP celkom
EPISODE	Štatistika epizódy
_TYPE	Kategória typu štatistiky epizódy

_TYPE_INDUCED	Indukovaný typ štatistiky epizódy
_VENDOR_TYPE	Kategória typu predajcu štatistiky epizódy
_RECENT_COUNT	Nedávny počet štatistiky epizódy
_RECENT_COUNT_DTM_[STRTEAD]	Nedávny dátum a čas štatistiky epizódy
_TOTAL COUNT	Celkový počet
_TOTAL_COUNT_DTM_[STRTEAD]	Dátum a čas celkom
EPISODE	Epizóda
_ID	Identifikátor epizódy
_DTM	Dátum a čas epizódy
_TYPE	Kategória typu epizódy
_TYPE_INDUCED	Indukovaná vlajka štatistiky epizódy
VENDOR TYPE	Kategória typu predajcu epizódy
ATRIAL_INTERVAL_AT_DETECTION	Predsieňový interval detekcie epizódy
VENTRICULAR_INTERVAL_AT_DETECTION	Komorový interval detekcie epizódy
_DETECTION_THERAPY_DETAILS	Detekcia epizódy a detaily liečby
_DURATION	Trvanie epizódy

Остаряла версия. Да не се използва.
Zastaralá verze. Nepoužívat.
Forældet version. Må ikke anvendes.
Version überholt. Nicht verwenden.
Version obsolete. Mην την χρησιμοποιείτε.
Παλιά έκδοση. Μην την χρησιμοποιείτε.
Outdated version. Do not use.
Version périmée. Ne pas utiliser.
Zastarjela verzija. Ne koristite.
Úrejt útgáfa. Notið ekki.
Versione obsolete. Non utilizzare.
Zastarjela verzija. Neizmantot.
Pasenusi versija. Nenaudokite.
Elavult verzió. Ne használja!
Dit is een verouderde versie. Niet gebruiken.
Utdatert versjon. Skal ikke brukes.
Wersja przeterminowana. Nie używać.
Versão obsoleta. Não utilize.
Versione expirată. A nu se utiliza.
Zastaraná verzia. Nepoužívať.
Zastarela različica. Ne uporabite.
Vanhentunut versio. Älä käytä.
Föråldrad version. Använd ej.
Güncel olmayan sürüm. Kullanmayın.

KONVERZIA ÚDAJOV IMPLANTOVANÉHO ZARIADENIA DO HLÁSENÍ IDCO

KAPITOLA 2

Táto kapitola obsahuje nasledujúce témy:

- "Stav batérie" na strane 2-2
- "SET_BRADY_SENSOR_TYPE" na strane 2-2
- "Mapovanie typu zóny" na strane 2-2
- "Mapovanie epizódy" na strane 2-3
- "Mapovanie počítadiel" na strane 2-5
- "Mapovanie konfigurácie elektródy" na strane 2-7
- "Obmedzenia systému" na strane 2-8
- "Definície výstrah a varovaní" na strane 2-8

STAV BATÉRIE

Výpisy parametrov batérie sa do stavu batérie BSC prenášajú nasledujúcim spôsobom:

STAV BATÉRIE BSC (Zariadenia ICM)	STAV BATÉRIE BSC (Zariadenia S-ICD)	STAV BATÉRIE BSC (Všetky ostatné zariadenia)	STAV BATÉRIE IDCO
OK	>10 % zostáva do ERI	BOL	BOS
-	<= 10 % zostáva do ERI	OY	MOS
RRT	ERI (UEV)	ERI (UEV)	RRT
EOL	EOL	EOL	EOS

Keď implantované zariadenie vstúpi do obmedzenej telemetrie, stav jeho batérie môže byť ERI alebo EOL. Oba stavy batérie povedú k rovnakému hláseniu: ENUM_BATTERY_STATUS_RRT (ERI) in (v) MSMT_BATTERY_STATUS with the ERI timestamp in (s časovou značkou ERI v) MSMT_BATTERY_DTM. Tento stav sa týka výhradne obmedzenej telemetrie, nie zariadení ICM alebo S-ICD.

SET_BRADY_SENSOR_TYPE

Typ senzora bude odoslaný podľa nasledujúcej tabuľky.

HODNOTA ODOSLANÁ DO PREMENNEJ SET_BRADY_SENSOR_TYPE NA ZÁKLADE NASTAVENIA IMPLANTOVANÉHO ZARIADENIA	NASTAVENIE IMPLANTOVANÉHO ZARIADENIA
"Accelerometer"	Iba akcelerometer
"Minute Ventilation"	Iba MV
"Accelerometer + MV"	Akcelerometer a MV

Vyššie uvedené hodnoty budú odoslané iba za predpokladu, že senzor môže riadiť frekvenciu (tzn. neodošlú sa, ak je senzor v stave Iba monitorovanie).

Vyššie uvedené hodnoty budú odoslané, ak je možné frekvenciu riadiť v normálnom režime Brady alebo v ATR (tzn. hodnota neodráža iba normálny režim Brady).

Nezabúdajte, že parameter "ATR Only" (Len ATR) sa môže v správach nachádzať, keď je režim ATR v režime s frekvenčnou adaptáciou a normálny režim Brady frekvenčnú adaptáciu nepoužíva. V tomto prípade bude text (napr. "Accelerometer" (Akcelerometer)) aj tak odoslaný v režime ATR. Používateľ môže zhodnotiť režim Brady a režim ATR a určiť, že frekvenčná adaptácia prebieha iba u ATR.

MAPOVANIE TYPU ZÓNY

Nastavenia zóny budú odoslané podľa nasledujúcej tabuľky.

TYP ZÓNY BSC	NORMATÍVNY TYP ZÓNY IDCO	TYP ZÓNY IDCO ŠPECIFICKÝ PRE PREDAJCU	KÓD TYPU ZÓNY IDCO ŠPECIFICKÝ PRE PREDAJCU
VT	VT	BSX-Zone_VT	771137
VT-1	VT	BSX-Zone_VT-1	771138
VF	VF	BSX-Zone_VF	771139
Tachy (Tachykardia)	Ak je elektróda v zariadeniach SSI v: <ul style="list-style-type: none"> • V - VT • A - ATAF 	Pozri poznámku a	Pozri poznámku a

TYP ZÓNY BSC	NORMATÍVNY TYP ZÓNY IDCO	TYP ZÓNY IDCO ŠPECIFICKÝ PRE PREDAJCU	KÓD TYPU ZÓNY IDCO ŠPECIFICKÝ PRE PREDAJCU
	<ul style="list-style-type: none"> Nešpecifikované – VT 		
Shock Zone (Zóna výboja)	VF	BSX-Zone_VF	771139
Conditional Shock Zone (Zóna podmieneného výboja)	VT	BSX-Zone_VT	771137

a. Typ zóny podľa dodávateľa OBX bude uvedený v hlásení s prázdnu hodnotou observácie.

V pôvodnej revízii nomenklatúry nemali niektoré typy zón Boston Scientific výpisy špecifické pre predajcu. Výpisy a kódy špecifické pre predajcu boli teraz rezervované. **Tieto kódy sú rezervované na budúce použitie** a sú uvedené nižšie, aby mali implementátori príležitosť zahrnúť tieto kódy do svojho návrhu.

TYP ZÓNY BSC	NORMATÍVNY TYP ZÓNY IDCO	TYP ZÓNY IDCO ŠPECIFICKÝ PRE PREDAJCU	KÓD TYPU ZÓNY IDCO ŠPECIFICKÝ PRE PREDAJCU
Shock Zone (Zóna výboja)	VF	BSX-Zone_Shock Zone	771144
Conditional Shock Zone (Zóna podmieneného výboja)	VT	BSX-Zone_Cond Shock Zone	771145
Tachy (Tachykardia)	Ak je elektróda v zariadeniach SSI v: <ul style="list-style-type: none"> V – VT A – ATAF Nešpecifikované – VT 	BSX-Zone_Tachy	771146

MAPOVANIE EPIZÓDY

Epizódy, počítadlá atď. budú odosielané vo vzťahu k informáciám v interogácii. Rovnaké informácie budú odoslané na začiatku a v nasledujúcom opakovanom odoslaní, aj keď medzi tým prebehli interogácie. Nezabúdajte, že výstup EMR nebude vždy zodpovedať informáciám zobrazeným v správe Quick Notes, keďže Quick Notes zobrazujú epizódy, výstrahy a počítadlá od posledného resetovania. Epizódy sú reprezentované kombináciou normatívnych typov a typov špecifických pre predajcu. Niektoré typy epizód Boston Scientific nie je možné v súčasnej nomenklatúre IDCO unikátne označiť.

ID EPIZÓDY BSC	TYP EPIZÓDY BSC	NORMATÍVNY TYP EPIZÓDY IDCO	TYP EPIZÓDY IDCO ŠPECIFICKÝ PRE PREDAJCU	KÓD EPIZÓDY IDCO ŠPECIFICKÝ PRE PREDAJCU
V-x	VF	VF	BSX-Epis_VF	771073
V-x	VT	VT	BSX-Epis_VT	771074
V-x	VT (V>A)	VT	Pozri poznámku a	Pozri poznámku a
V-x	Tachy (Tachykardia)	Ak je elektróda v zariadeniach SSI v: <ul style="list-style-type: none"> V – VT A – ATAF Nešpecifikované – VT 	Pozri poznámku a	Pozri poznámku a
V-x	NonSust	Ak je elektróda v zariadeniach SSI v: <ul style="list-style-type: none"> V – VT A – ATAF Nešpecifikované – VT 	Ak A, prázdne ostatní BSX-Epis_NSVT	Ak A, prázdne inak 771077
V-x	SVT (V≤A)	SVT	BSX-Epis_SVT	771076

ID EPIZÓDY BSC	TYP EPIZÓDY BSC	NORMATÍVNY TYP EPIZÓDY IDCO	TYP EPIZÓDY IDCO ŠPECIFICKÝ PRE PREDAJCU	KÓD EPIZÓDY IDCO ŠPECIFICKÝ PRE PREDAJCU
V-x	VT-1	VT	BSX-Epis_VT-1	771075
RMS-x	RMS	Other (Ostatné)	BSX-Epis_RMS	771084
RYTHMIQ™-x	RYTHMIQ™	Other (Ostatné)	BSX-Epis_RMS	771084
ATR-x	ATR	ATAF	BSX-Epis_ATR	771078
PMT-x	PMT	Other (Ostatné)	BSX-Epis_PMT	771079
SBR-x	SBR	Other (Ostatné)	Pozri poznámku a	Pozri poznámku a
PTM-x	PTM	Aktivovaná pacientom	BSX-Epis_PTM	771080
V-x	Cmd V (Príkáz. V)	Other (Ostatné)	Pozri poznámku a	Pozri poznámku a
V-x	NonSustV	VT	BSX-Epis_NSVT	771077
APMRT-x	APM RT	Periodické EGM	BSX-Epis_APMRT	771085
RVAT-x	RV Auto (RV (PK) automaticky)	Other (Ostatné)	Pozri poznámku a	Pozri poznámku a
RAAT-x	RA Auto (RA (PP) automaticky)	Other (Ostatné)	Pozri poznámku a	Pozri poznámku a
LVAT-x	LV Auto (LV (LK) automaticky)	Other (Ostatné)	Pozri poznámku a	Pozri poznámku a
MRI-x	MRI	Other (Ostatné)	Pozri poznámku a	Pozri poznámku a
<episode number>	Treated	VF	BSX-Epis_VF	771073
<episode number>	Untreated	Other (Ostatné)	Pozri poznámku a	Pozri poznámku a
<episode number>	AF	ATAF	Pozri poznámku a	Pozri poznámku a
<episode number>	SMART Pass	Other (Ostatné)	Pozri poznámku a	Pozri poznámku a
SAM-x	SAM	Other (Ostatné)	Pozri poznámku a	Pozri poznámku a
B-x	Brady (Bradykardia)	Other (Ostatné)	BSX-Epis_ICM_Brady	771096
P-x	Pause (Pozastaviť)	Other (Ostatné)	BSX-Epis_ICM_Pause	771097
AF-x	AF	ATAF	BSX-Epis_ICM_AF	771098
AT-x	AT	ATAF	BSX-Epis_ICM_AT	771099
T-x	Tachy (Tachykardia)	VT	BSX-Epis_ICM_Tachy	771100
T-x	Tachy (VT) (Tachykardia (VT))	VT	BSX-Epis_ICM_TachyVT	771101
T-x	Tachy (SVT) (Tachykardia (SVT))	SVT	BSX-Epis_ICM_TachySVT	771102
T-x	Tachy (->VF) (Tachykardia (->VF))	VF	BSX-Epis_ICM_TachytoVF	771103
T-x	Tachy (VT->VF) (Tachykardia (VT->VF))	VF	BSX-Epis_ICM_TachyVTtoVF	771104

ID EPIZÓDY BSC	TYP EPIZÓDY BSC	NORMATÍVNY TYP EPIZÓDY IDCO	TYP EPIZÓDY IDCO ŠPECIFICKÝ PRE PREDAJCU	KÓD EPIZÓDY IDCO ŠPECIFICKÝ PRE PREDAJCU
T-x	Tachy (SVT->VF) (Tachykardia (SVT->VF))	VF	BSX-Epis_ICM_TachySVTtoVF	771105
T-x	Tachy (VF) (Tachykardia (VF))	VF	BSX-Epis_ICM_TachyVF	771106
PT-x	Príznak	Aktivovaná pacientom	BSX-Epis_ICM_Symptom	771107

a. Typ epizódy podľa dodávateľa OBX bude uvedený v hlásení s prázdnu hodnotou observácie.

V pôvodnej revízii nomenklatury nemali niektoré typy epizód Boston Scientific výpisy špecifické pre predajcu. Výpisy a kódy špecifické pre predajcu boli teraz rezervované. **Tieto kódy sú rezervované na budúce použitie** a sú uvedené nižšie, aby mali implementátori príležitosť zahrnúť tieto kódy do svojho návrhu.

ID EPIZÓDY BSC	TYP EPIZÓDY BSC	NORMATÍVNY TYP EPIZÓDY IDCO	TYP EPIZÓDY IDCO ŠPECIFICKÝ PRE PREDAJCU	KÓD EPIZÓDY IDCO ŠPECIFICKÝ PRE PREDAJCU
V-x	Tachy (Tachykardia)	Ak je elektróda v zariadeniach SSI v: <ul style="list-style-type: none"> • V - VT • A - ATAF • Nešpecifikované - VT 	BSX-Epis_Tachy	771086
SBR-x	SBR	Other (Ostatné)	BSX-Epis_SBR	771087
V-x	Cmd V (Príkaz. V)	Other (Ostatné)	BSX-Epis_CmdV	771088
RVAT-x	RV Auto (RV (PK) automaticky)	Other (Ostatné)	BSX-Epis_RVAutoThresh	771089
RAAT-x	RA Auto (RA (PP) automaticky)	Other (Ostatné)	BSX-Epis_RAAutoThresh	771090
LVAT-x	LV Auto (LV (LK) automaticky)	Other (Ostatné)	BSX-Epis_LVAutoThresh	771091
MRI-x	MRI	Other (Ostatné)	BSX-Epis_MRI	771092
<episode number>	Treated	VF	BSX-Epis_SICD_Treated	771093
<episode number>	Untreated	Other (Ostatné)	BSX-Epis_SICD_Untreated	771094
<episode number>	AF	ATAF	BSX-Epis_SICD_AF	771095
SAM-x	SAM	Other (Ostatné)	BSX-Epis_SAM	771115
V-x	VT (V>A)	VT	BSX-Epis_VT_VGrtrA	771116
V-x	SVT (V ≤ A)	SVT	BSX-Epis_SVT_NotVGrtrA	771117

MAPOVANIE POČÍTADIEL

Niektoré počítadlá sa pred odoslaním do hlásenia sčítavajú. Príčinou je fakt, že všetky počítadlá Boston Scientific nie je v súčasnosti možné vyjadriť v nomenklatúre IDCO: Odosielané hodnoty počítadiel informujú o stave od posledného resetovania.

POČÍTADLO EPIZÓD BSC	ŠTATISTICKÝ NORMATÍVNY TYP EPIZÓDY IDCO	ŠTATISTICKÝ TYP EPIZÓDY IDCO ŠPECIFICKÝ PRE PREDAJCU	ŠTATISTICKÝ KÓD EPIZÓDY IDCO ŠPECIFICKÝ PRE PREDAJCU
Treated	VF	BSX-Epis_VF	771073
Untreated	Other (Ostatné)	Pozri poznámku a	Pozri poznámku a
VT (V>A)	VT	Pozri poznámku a	Pozri poznámku a
Tachy (Tachykardia)	Ak je elektróda v zariadeniach SSI v: <ul style="list-style-type: none"> V - VT A - ATAF Nešpecifikované - VT 	Pozri poznámku a	Pozri poznámku a
NonSust	Ak je elektróda v zariadeniach SSI v: <ul style="list-style-type: none"> V - VT A - ATAF Nešpecifikované - VT 	BSX-Epis_NSVT	771077
NonSustV	VT	BSX-Epis_NSVT	771077
SVT (V ≤ A)	SVT	BSX-Epis_SVT	771076
ATR	ATAF	BSX-Epis_ATR	771078
MRI	Other (Ostatné)	Pozri poznámku a	Pozri poznámku a
VF	VF	BSX-Epis_VF	771073
VT	VT	BSX-Epis_VT	771074
VT-1	VT	BSX-Epis_VT-1	771075
No Therapy Programmed (Nenaprogramovaná žiadna liečba)	Monitor	Pozri poznámku a	Pozri poznámku a
Other Untreated (Iná neliečená)	Other (Ostatné)	Pozri poznámku a	Pozri poznámku a
Brady (Bradykardia)	Other (Ostatné)	BSX-Epis_ICM_Brady	771096
Pause (Pozastaviť)	Other (Ostatné)	BSX-Epis_ICM_Pause	771097
AF	ATAF	BSX-Epis_ICM_AF	771098
AT	ATAF	BSX-Epis_ICM_AT	771099
Tachy (Tachykardia)	VT	BSX-Epis_ICM_Tachy	771100
Príznak	Aktivovaná pacientom	BSX-Epis_ICM_Symptom	771107
Bradykardia s príznakom	Other (Ostatné)	BSX-Epis_ICM_Brady_Symptom	771108
Pauza s príznakom	Other (Ostatné)	BSX-Epis_ICM_Pause_Symptom	771109
AF s príznakom	ATAF	BSX-Epis_ICM_AF_Symptom	771110
AT s príznakom	ATAF	BSX-Epis_ICM_AT_Symptom	771111
Tachykardia s príznakom	VT	BSX-Epis_ICM_Tachy_Symptom	771112

a. Stav počítadla podľa dodávateľa OBX bude uvedený v hlásení s prázdnu hodnotou observácie.

V pôvodnej revízií nomenklatúry nemali niektoré typy epizód Boston Scientific výpisy špecifické pre predajcu. Výpisy a kódy špecifické pre predajcu boli teraz rezervované. **Tieto kódy sú rezervované na budúce použitie** a sú uvedené nižšie, aby mali implementátori príležitosť zahrnúť tieto kódy do svojho návrhu.

POČÍTADLO EPIZÓD BSC	ŠTATISTICKÝ NORMATÍVNY TYP EPIZÓDY IDCO	ŠTATISTICKÝ TYP EPIZÓDY IDCO ŠPECIFICKÝ PRE PREDAJCU	ŠTATISTICKÝ KÓD EPIZÓDY IDCO ŠPECIFICKÝ PRE PREDAJCU
Tachy (Tachykardia)	Ak je elektróda v zariadeniach SSI v: <ul style="list-style-type: none"> V – VT A – ATAF Nešpecifikované – VT 	BSX-Epis_Tachy	771086
Prikázaná liečba	Other (Ostatné)	BSX-Epis_CmdV	771088
MRI	Other (Ostatné)	BSX-Epis_MRI	771092
Treated	VF	BSX-Epis_SICD_Treated	771093
Untreated	Other (Ostatné)	BSX-Epis_SICD_Untreated	771094
No Therapy Programmed (Nenaprogramovaná žiadna liečba)	Monitor	BSX-Epis_NoThpyEpsd	771113
Ostatné neliečené epizódy	Other (Ostatné)	BSX-Epis_Other_Untreated	771114
VT (V > A)	VT	BSX-Epis_VT_VGrtrA	771116
SVT (V <= A)	SVT	BSX-Epis_SVT_NotVGrtrA	771117

MAPOVANIE KONFIGURÁCIE ELEKTRODY

V nasledujúcej tabuľke je popísaná definícia elektród s viacerými pólmi v štandardoch IDCO a BSC. Táto tabuľka nepredstavuje vyčerpávajúci zoznam, iba vymenováva informácie, ktoré nemusia byť zjavné.

Definície používané spoločnosťou BSC sú navrhnuté, aby odpovedali programátoru/nahrávaciemu zariadeniu/monitoru (PRM) a internetovej stránke LATITUDE.

NÁZOV ELEKTRODY BSC	POLOHA ELEKTRODY IDCO	NÁZOV ELEKTRODY IDCO
Zariadenie	Iná	Zariadenie
LVTip1	LV (LK)	Špička
LVRing2	LV (LK)	Ring1
LVRing3	LV (LK)	Ring2
LVRing4	LV (LK)	Ring3

MDC_IDCO_ENUM_ELECTRODE_LOCATION (poloha stimulačnej/snímačej anódy/katódy) v súčasnosti vo výpise nezahŕňa kapsu (tzn. zariadenie). Poloha bude odoslaná ako „iná“ a pól elektródy ako „zariadenie“.

Stav „skontrolujte elektródu“ informuje o možnom probléme s elektródou. Ak však tento stav aktívny nie je, elektróda ešte nemusí fungovať správne. Systém odosiela stav „skontrolujte elektródu“, ak sa aktivuje ktorýkoľvek z nasledujúcich stavových indikátorov:

- Zariadenia S-ICD

- Vysoká impedancia pólu elektródy
- Všetky ostatné zariadenia
 - Bezpečnostný spínač elektródy
 - Impedancia mimo rozsah
 - Amplitúda mimo rozsah
 - Nízka impedancia výboja
 - Vysoká impedancia výboja
 - Vysoké napätie pri nabíjaní

Pri MSMT_LEADCHNL_[CHAMBER] (tzn. meranie kanálu elektródy ako vlastná amplitúda, impedancia elektródy, stimulačný prah) je podľa aktuálnej nomenklatúry IDCO u všetkých meraní možné len jedno rozmedzie časovej známky (tzn. každé meranie nemá svoje vlastné rozmedzie). Ak sa časy merania líšia, systém odošle rozmedzie časovej známky (tzn. MIN, MAX) zahŕňajúce časy všetkých meraní. Odosielané hodnoty budú zodpovedať hodnote IDCO MEAN podľa nomenklatúry IDCO. Hodnoty sú však samostatnými meraniami, nejedná sa o priemerné hodnoty za rozmedzie časovej známky.

OBMEDZENIA SYSTÉMU

- Výstup špecifický pre Tachy a pre komory má maximálnu možnú presnosť. V niektorých prípadoch však dôležitosť odosielania údajov a skutočnosť, že štandard IDCO nie je schopný uvádzať niektoré parametre, vedú k odoslaniu údajov. Napríklad: informácie zóny VT sa odosielajú, ako keby zariadenia Brady mali zónu VT.
- U zariadení bez automatického stimulačného prahu (funkcia Autothreshold) sa odosiela posledné meranie prahu v ambulancii.
- Správne nahlasovanie údajov z implantovaného zariadenia a oznamovanie výstrah systémom LATITUDE NXT závisí od toho, či sú hodiny implantovaného zariadenia správne nastavené pomocou Programátora/nahrávacieho zariadenia/monitora (PRM). Správne nahlasovanie môže byť po správnom naprogramovaní hodín implantovaného zariadenia na určitý čas naďalej ovplyvnené v závislosti od množstva údajov prijatých s nesprávnou informáciou o čase a časovej odchýlky hodín implantovaného zariadenia.
- Retazce budú odosielané v jazyku nakonfigurovanom pre klinické pracovisko v systéme LATITUDE.

DEFINÍCIE VÝSTRAH A VAROVANÍ

Varovné a výstražné hlásenia sú do hlásenia zaradené ako poznámky, ktoré sa na EMR zobrazit môžu ale nemusia. Varovanie alebo výstraha budú súčasťou hlásenia, ak údaje načítané z implantovaného zariadenia viedli k spusteniu tohto varovania alebo výstrahy.

PRÍKLAD SÚBOROV IDCO

KAPITOLA 3

Táto kapitola obsahuje nasledujúce témy:

- "Príklad súborov IDCO" na strane 3-2
- "Ukážkové hlásenie 1 – Zariadenie S S-ICD" na strane 3-2
- "Ukážkové hlásenie 2 – zariadenie ICM" na strane 3-4
- "Ukážkové hlásenie 3 – Ostatné liečebné zariadenia (nie S-ICD)" na strane 3-7

Остаряла версия. Да не се използва.
Zastaralá verze. Nepoužívat.
Forældet version. Må ikke anvendes.
Version überholt. Nicht verwenden.
Version obsolete. Ärge kasutage.
Παλιά έκδοση. Μην την χρησιμοποιείτε.
Outdated version. Do not use.
Version périmée. Ne pas utiliser.
Zastarjela verzija. Ne koristiti.
Úrejt útgáfa. Notið ekki.
Versione obsolete. Non utilizzare.
Zastarjela verzija. Neizmantot.
Úrejt útgáfa. Notið ekki.
Novější verze. Ne používejte.
Pasenusi versija. Nenaudokite.
Elavult verzió. Ne használja!
Utdatert versjon. Neizmantot.
Wersja przeterminowana. Nie używać.
Versão obsoleta. Não utilize.
Versione expirată. A nu se utiliza.
Zastaraná verzia. Nepoužívať.
Zastarela različica. Ne uporabite.
Vanhentunut versio. Älä käytä.
Föråldrad version. Använd ej.
Güncel olmayan sürüm. Kullanmayın.

PRÍKLAD SÚBOROV IDCO

Nasledujúci príklad súborov IDCO ukazuje, ako by mohli vyzerat hlásenia LATITUDE IDCO. Uvádame iba dva príklady, možných výsledkov je veľa. Údaje v týchto ukázkových hláseniach sú hypotetické. Neobsahuje všetky pojmy LATITUDE IDCO.

UKÁŽKOVÉ HLÁSENIE 1 – ZARIADENIE S S-ICD

```
MSH|^~\&|LATITUDE|BOSTON SCIENTIFIC||Test Clinic|201502091852+0000||  
ORU^R01^ORU_R01|1000000134|P|2.6|||||UNICODE UTF-8|en^English||IHE_  
PCD_009^IHE_PCD^1.3.6.1.4.1.19376.1.6.1.9.1^ISO  
PID|1||model:A209/serial:100564^^^BSX^U~PID_001^^^Test Clinic^U||  
Smith^Joe||20150101|U  
PV1|1|R  
PV2|||||||Test Clinic group^1  
OBR|1||1000000013|754052^MDC_IDC_ENUM_SESS_TYPE_RemoteDeviceInitiated  
^MDC|1|201501261012-0600|||||F  
NTE|1||Sensing Configuration: Alternate\br\Gain Setting: 1X\br\  
Post Shock Pacing: ON  
NTE|2||Jan 26, 2015 10:07 CST - Yellow Alert - Untreated episode.  
NTE|3||Jan 26, 2015 10:04 CST - Yellow Alert - Shock therapy  
delivered to convert arrhythmia (treated episode).  
OBX|1|CWE|720897^MDC_IDC_DEV_TYPE^MDC|753666^MDC_IDC_ENUM_DEV_  
TYPE_ICD^MDC|1||F  
OBX|2|ST|720898^MDC_IDC_DEV_MODEL^MDC|A209|1||F  
OBX|3|ST|720899^MDC_IDC_DEV_SERIAL^MDC|100564|1||F  
OBX|4|CWE|720900^MDC_IDC_DEV_MFG^MDC|753732^MDC_IDC_ENUM_MFG_  
BSX^MDC|1||F  
OBX|5|DTM|720901^MDC_IDC_DEV_IMPLANT_DT^MDC|20150126|1||F  
OBX|6|DTM|721025^MDC_IDC_SESS_DTM^MDC|201501261012-0600|1||F  
OBX|7|CWE|721026^MDC_IDC_SESS_TYPE^MDC|754052^MDC_IDC_ENUM_SESS_TYPE_RemoteDeviceInitiated^MDC|1||F  
OBX|8|ST|721033^MDC_IDC_SESS_CLINIC_NAME^MDC|Test Clinic|1||F  
OBX|9|DTM|721216^MDC_IDC_MSMT_BATTERY_DTM^MDC|201501261012-0600  
1||F  
OBX|10|CWE|721280^MDC_IDC_MSMT_BATTERY_STATUS^MDC|754113^MDC_IDC_  
ENUM_BATTERY_STATUS_BOS^MDC|1||F  
OBX|11|NM|721536^MDC_IDC_MSMT_BATTERY_REMAINING_PERCENTAGE^MDC|198  
1||F  
OBX|12|ST|739536^MDC_IDC_EPISODE_ID^MDC|1002|1||F  
OBX|13|DTM|739552^MDC_IDC_EPISODE_DTM^MDC|1|201501261007-0600|1||F  
OBX|14|CWE|739568^MDC_IDC_EPISODE_TYPE^MDC|1|754888^MDC_IDC_ENUM_  
EPISODE_TYPE_Epis_Other^MDC|1||F  
OBX|15|CWE|739600^MDC_IDC_EPISODE_VENDOR_TYPE^MDC|1|1||F  
OBX|16|CWE|739584^MDC_IDC_EPISODE_TYPE_INDUCED^MDC|1|755330^MDC_IDC_  
ENUM_EPISODE_TYPE_INDUCED_NO^MDC|1||F  
OBX|17|NM|739712^MDC_IDC_EPISODE_DURATION^MDC|1|39|s|1||F  
OBX|18|ST|739680^MDC_IDC_EPISODE_DETECTION_THERAPY_DETAILS^MDC|1|  
Untreated Episode|1||F  
OBX|19|ST|739536^MDC_IDC_EPISODE_ID^MDC|2001|1||F  
OBX|20|DTM|739552^MDC_IDC_EPISODE_DTM^MDC|2|201501261004-0600|1||F  
OBX|21|CWE|739568^MDC_IDC_EPISODE_TYPE^MDC|2|754881^MDC_IDC_ENUM_  
EPISODE_TYPE_Epis_VF^MDC|1||F  
OBX|22|CWE|739600^MDC_IDC_EPISODE_VENDOR_TYPE^MDC|2|771073^MDC_IDC_  
ENUM_EPISODE_VENDOR_TYPE_BSX-Epis_VF^MDC|1||F  
OBX|23|CWE|739584^MDC_IDC_EPISODE_TYPE_INDUCED^MDC|2|755330^MDC_IDC_  
ENUM_EPISODE_TYPE_INDUCED_NO^MDC|1||F  
OBX|24|NM|739712^MDC_IDC_EPISODE_DURATION^MDC|2|43|s|1||F  
OBX|25|ST|739680^MDC_IDC_EPISODE_DETECTION_THERAPY_DETAILS^MDC|2|
```

Treated Episode: Shock Impedance=77 Ohms, Final Shock Polarity=REV|||||F
OBX|26|CWE|731520^MDC_IDC_SET_TACHYTHERAPY_VSTAT^MDC||754817^MDC_IDC_ENUM_THERAPY_STATUS_On^MDC|||||F
OBX|27|CWE|731648^MDC_IDC_SET_ZONE_TYPE^MDC|1|754945^MDC_IDC_ENUM_ZONE_TYPE_Zone_VF^MDC|||||F
OBX|28|CWE|731712^MDC_IDC_SET_ZONE_VENDOR_TYPE^MDC|1|771139^MDC_IDC_ENUM_ZONE_VENDOR_TYPE_BSX-Zone_VF^MDC|||||F
OBX|29|CWE|731776^MDC_IDC_SET_ZONE_STATUS^MDC|1|755009^MDC_IDC_ENUM_ZONE_STATUS_Active^MDC|||||F
OBX|30|NM|731840^MDC_IDC_SET_ZONE_DETECTION_INTERVAL^MDC|1|273|ms|||||F
OBX|31|NM|732225^MDC_IDC_SET_ZONE_SHOCK_ENERGY_1^MDC|1|80|J|||||F
OBX|32|CWE|731648^MDC_IDC_SET_ZONE_TYPE^MDC|1|754946^MDC_IDC_ENUM_ZONE_TYPE_Zone_VT^MDC|||||F
OBX|33|CWE|731712^MDC_IDC_SET_ZONE_VENDOR_TYPE^MDC|2|771137^MDC_IDC_ENUM_ZONE_VENDOR_TYPE_BSX-Zone_VT^MDC|||||F
OBX|34|CWE|731776^MDC_IDC_SET_ZONE_STATUS^MDC|2|755009^MDC_IDC_ENUM_ZONE_STATUS_Active^MDC|||||F
OBX|35|NM|731840^MDC_IDC_SET_ZONE_DETECTION_INTERVAL^MDC|2|300|ms|||||F
OBX|36|ST|732032^MDC_IDC_SET_ZONE_DETECTION_DETAILS^MDC|2|SMART Charge: 204.69 s (183 intervals)|||||F
OBX|37|NM|732225^MDC_IDC_SET_ZONE_SHOCK_ENERGY_1^MDC|2|80|J|||||F
OBX|38|CWE|737952^MDC_IDC_STAT_EPISODE_TYPE^MDC|1|754888^MDC_IDC_ENUM_EPISODE_TYPE_Epis_Other^MDC|||||F
OBX|39|CWE|737984^MDC_IDC_STAT_EPISODE_VENDOR_TYPE^MDC|1|||||||F
OBX|40|NM|738000^MDC_IDC_STAT_EPISODE_RECENT_COUNT^MDC|1|1|||||||F
OBX|41|DTM|738017^MDC_IDC_STAT_EPISODE_RECENT_COUNT_DTM_START^MDC|1|20150126|||||F
OBX|42|DTM|738018^MDC_IDC_STAT_EPISODE_RECENT_COUNT_DTM_END^MDC|1|20150126|||||F
OBX|43|NM|738032^MDC_IDC_STAT_EPISODE_TOTAL_COUNT^MDC|1|1|||||||F
OBX|44|DTM|738049^MDC_IDC_STAT_EPISODE_TOTAL_COUNT_DTM_START^MDC|1|20150126|||||F
OBX|45|DTM|738050^MDC_IDC_STAT_EPISODE_TOTAL_COUNT_DTM_END^MDC|1|20150126|||||F
OBX|46|CWE|737952^MDC_IDC_STAT_EPISODE_TYPE^MDC|2|754881^MDC_IDC_ENUM_EPISODE_TYPE_Epis_VF^MDC|||||F
OBX|47|CWE|737984^MDC_IDC_STAT_EPISODE_VENDOR_TYPE^MDC|2|771073^MDC_IDC_ENUM_EPISODE_VENDOR_TYPE_BSX-Epis_VF^MDC|||||F
OBX|48|NM|738000^MDC_IDC_STAT_EPISODE_RECENT_COUNT^MDC|2|1|||||||F
OBX|49|DTM|738017^MDC_IDC_STAT_EPISODE_RECENT_COUNT_DTM_START^MDC|2|20150126|||||F
OBX|50|DTM|738018^MDC_IDC_STAT_EPISODE_RECENT_COUNT_DTM_END^MDC|2|20150126|||||F
OBX|51|NM|738032^MDC_IDC_STAT_EPISODE_TOTAL_COUNT^MDC|2|1|||||||F
OBX|52|DTM|738049^MDC_IDC_STAT_EPISODE_TOTAL_COUNT_DTM_START^MDC|2|20150126|||||F
OBX|53|DTM|738050^MDC_IDC_STAT_EPISODE_TOTAL_COUNT_DTM_END^MDC|2|20150126|||||F
OBX|54|DTM|737937^MDC_IDC_STAT_TACHYTHERAPY_RECENT_DTM_START^MDC||20150126|||||F
OBX|55|DTM|737938^MDC_IDC_STAT_TACHYTHERAPY_RECENT_DTM_END^MDC||20150126|||||F
OBX|56|NM|737824^MDC_IDC_STAT_TACHYTHERAPY_SHOCKS_DELIVERED_RECENT^MDC||1|||||||F
OBX|57|DTM|737921^MDC_IDC_STAT_TACHYTHERAPY_TOTAL_DTM_START^MDC||20150126|||||F
OBX|58|DTM|737922^MDC_IDC_STAT_TACHYTHERAPY_TOTAL_DTM_END^MDC||20150126|||||F
OBX|59|NM|737840^MDC_IDC_STAT_TACHYTHERAPY_SHOCKS_DELIVERED_TOTAL^MDC

```

|||||F
OBX|60|ST|720961^MDC_IDC_LEAD_MODEL^MDC|1|1030|||||F
OBX|61|ST|720962^MDC_IDC_LEAD_SERIAL^MDC|1|A123456|||||F
OBX|62|CWE|720963^MDC_IDC_LEAD_MFG^MDC|1|753732^MDC_IDC_ENUM_MFG_BSX^MDC
|||||F
OBX|63|CWE|720966^MDC_IDC_LEAD_LOCATION^MDC|1|753861^MDC_IDC_ENUM_LEAD_
LOCATION_CHAMBER_
OTHER^MDC|||||F
OBX|64|CWE|720967^MDC_IDC_LEAD_LOCATION_DETAIL_1^MDC|1|753944^MDC_IDC_
ENUM_LEAD_LOCATION_
DETAIL_Subcutaneous^MDC|1|D||||F
OBX|65|ED|18750-0^Cardiac Electrophysiology Report^LN^^Summary Report
||Application^PDF^^Base64^
{encoded PDF here}|||||F|||201501261012-0600
OBX|66|ED|18750-0^Cardiac Electrophysiology Report^LN^^Arrhythmia Logbook
Report||Application^
PDF^^Base64^(encoded PDF here)|||||F|||201501261012-0600
OBX|67|ED|18750-0^Cardiac Electrophysiology Report^LN^^Presenting
S-ECG Report||Application^
PDF^^Base64^(encoded PDF here)|||||F|||201501261012-0600

```

UKÁŽKOVÉ HLÁSENIE 2 – ZARIADENIE ICM

```

MSH|^~\&|LATITUDE|BOSTON SCIENTIFIC|BSC Systems Developm|201908061647+0000||ORU^R01^ORU_R01
|1000000503|P|2.6|||||UNICODE UTF-8|en^English||IHE_
PCD_009^IHE_PCD^1.3.6.1.4.1.19376.1.6.1.9.1^ISO
PID|1||model:M301^serial:555113^^BSX^U-101^^BSC Systems Development^U||
Brown^Jesse||19500101|
FPV1||R
PV2|||||BSC Systems Development^^1
OBR|1||1000000501|754054^MDC_IDC_ENUM_SESS_TYPE_RemotePatientInitiated
^MDC|||201908051529-0500|||||F
NTE|1||2 red event alerts, 1 yellow event alert (2 červené výstrahy na udalosť,
1 žltá výstraha na udalosť)
OBX|1|DTM|721025^MDC_IDC_SESS_DTM^MDC|1|201908051529-0500|||||F
OBX|2|CWE|721026^MDC_IDC_SESS_TYPE^MDC|1|754054^MDC_IDC_ENUM_SESS_TYPE_
RemotePatientInitiated^MDC|||||F
OBX|3|ST|721033^MDC_IDC_SESS_CLINIC_NAME^MDC|1|BSC Systems Development|||||F
OBX|4|CWE|720897^MDC_IDC_DEV_TYPE^MDC|1|753669^MDC_IDC_ENUM_DEV_TYPE_Monitor^MDC|||||F
OBX|5|ST|720898^MDC_IDC_DEV_MODEL^MDC|1|M301|D||||F
OBX|6|ST|720899^MDC_IDC_DEV_SERIAL^MDC|1|555113|D||||F
OBX|7|CWE|720900^MDC_IDC_DEV_MFG^MDC|1|753732^MDC_IDC_ENUM_MFG_BSX^MDC|||||F
OBX|8|DTM|720901^MDC_IDC_DEV_IMPLANT_DT^MDC|1|20190805|D||||F
OBX|9|DTM|721216^MDC_IDC_MSMT_BATTERY_DTM^MDC|1|201908051529-0500|||||F
OBX|10|CWE|721280^MDC_IDC_MSMT_BATTERY_STATUS^MDC|1|754113^MDC_IDC_ENUM_
BATTERY_STATUS_BOS^MDC|||||F
OBX|11|ST|739536^MDC_IDC_EPISODE_ID^MDC|1|APM-1|||||F
OBX|12|DTM|739552^MDC_IDC_EPISODE_DTM^MDC|1|201908051528-0500|||||F
OBX|13|CWE|739568^MDC_IDC_EPISODE_TYPE^MDC|1|754886^MDC_IDC_ENUM_
EPISODE_TYPE_Epis_PeriodicEGM^MDC|||||F
OBX|14|CWE|739600^MDC_IDC_EPISODE_VENDOR_TYPE^MDC|1|771085^MDC_IDC_ENUM_
EPISODE_VENDOR_TYPE_BSX-Epis_APMRT^MDC|||||F
OBX|15|ST|739680^MDC_IDC_EPISODE_DETECTION_THERAPY_DETAILS^MDC|1|Avg Rate=66
(Priemerná frekvencia = 66)|||||F
OBX|16|ST|739536^MDC_IDC_EPISODE_ID^MDC|2|AF-1|||||F
OBX|17|DTM|739552^MDC_IDC_EPISODE_DTM^MDC|2|201908051523-0500|||||F
OBX|18|CWE|739568^MDC_IDC_EPISODE_TYPE^MDC|2|754883^MDC_IDC_ENUM_
EPISODE_TYPE_Epis_ATAF^MDC|||||F
OBX|19|CWE|739600^MDC_IDC_EPISODE_VENDOR_TYPE^MDC|2|771098^MDC_IDC_

```

ENUM_EPISODE_VENDOR_TYPE_BSX-Epis_ICM_AF^MDC|||||F
 OBX|20|ST|739680^MDC_IDC_EPISODE_DETECTION_THERAPY_DETAILS^MDC|2|In Progress
 (Prebieha)|||||F
 OBX|21|ED|18750-0^Cardiac Electrophysiology Report
 (Správa srdcovej elektrofyziológie)^LN^AF-1 - Event Detail Report
 (Správa s podrobnosťami k udalostiam)|2|
 Application^PDF^Base64^{encoded PDF included here} (kódované PDF zahrnuté tu)|||||F
 |||201908051529-0500
 OBX|22|ST|739536^MDC_IDC_EPISODE_ID^MDC|3|B-1|||||F
 OBX|23|DTM|739552^MDC_IDC_EPISODE_DTM^MDC|3|201908051508-0500|||||F
 OBX|24|CWE|739568^MDC_IDC_EPISODE_TYPE^MDC|3|754888^MDC_IDC_ENUM_
 EPISODE_TYPE_Epis_Other^MDC|||||F
 OBX|25|CWE|739600^MDC_IDC_EPISODE_VENDOR_TYPE^MDC|3|771096^MDC_IDC_ENUM_
 EPISODE_VENDOR_TYPE_BSX-Epis_ICM_Brady^MDC|||||F
 OBX|26|NM|739712^MDC_IDC_EPISODE_DURATION^MDC|3|7|s|||||F
 OBX|27|ST|739680^MDC_IDC_EPISODE_DETECTION_THERAPY_DETAILS^MDC|3|
 Avg Rate=38 (Priemerná frekvencia = 38)|||||F
 OBX|28|ED|18750-0^Cardiac Electrophysiology Report
 (Správa srdcovej elektrofyziológie)^LN^B-1 -
 Event Detail Report (Správa s podrobnosťami k udalostiam)|3|
 Application^PDF^Base64^{encoded PDF included here} (kódované PDF zahrnuté tu)
 |||||F|||201908051529-0500
 OBX|29|ST|739536^MDC_IDC_EPISODE_ID^MDC|4|P-1|||||F
 OBX|30|DTM|739552^MDC_IDC_EPISODE_DTM^MDC|4|201908051429-0500|||||F
 OBX|31|CWE|739568^MDC_IDC_EPISODE_TYPE^MDC|4|754888^MDC_IDC_ENUM_
 EPISODE_TYPE_Epis_Other^MDC|||||F
 OBX|32|CWE|739600^MDC_IDC_EPISODE_VENDOR_TYPE^MDC|4|771097^MDC_IDC_ENUM_
 EPISODE_VENDOR_TYPE_BSX-Epis_ICM_Pause^MDC|||||F
 OBX|33|NM|739712^MDC_IDC_EPISODE_DURATION^MDC|4|3|s|||||F
 OBX|34|ED|18750-0^Cardiac Electrophysiology Report
 (Správa srdcovej elektrofyziológie)^LN^P-1
 Event Detail Report (Správa s podrobnosťami k udalostiam)|4|
 Application^PDF^Base64^{encoded PDF included here} (kódované PDF zahrnuté tu)
 |||||F|||201908051529-0500
 OBX|35|ST|739536^MDC_IDC_EPISODE_ID^MDC|5|AT-1|||||F
 OBX|36|DTM|739552^MDC_IDC_EPISODE_DTM^MDC|5|201908051419-0500|||||F
 OBX|37|CWE|739568^MDC_IDC_EPISODE_TYPE^MDC|5|754883^MDC_IDC_ENUM_
 EPISODE_TYPE_Epis_ATAF^MDC|||||F
 OBX|38|CWE|739600^MDC_IDC_EPISODE_VENDOR_TYPE^MDC|5|771099^MDC_IDC_ENUM_
 EPISODE_VENDOR_TYPE_BSX-Epis_ICM_AT^MDC|||||F
 OBX|39|NM|739712^MDC_IDC_
 EPISODE_DURATION^MDC|5|360|s|||||F
 OBX|40|ST|739680^MDC_IDC_EPISODE_DETECTION_THERAPY_DETAILS^MDC|5|Avg Rate=130
 (Priemerná frekvencia = 130)|||||F
 OBX|41|ED|18750-0^Cardiac Electrophysiology Report (Správa srdcovej
 elektrofyziológie)^LN^AT-1 - Event Detail Report
 (Správa s podrobnosťami k udalostiam)|5|
 Application^PDF^Base64^{encoded PDF included here}
 (kódované PDF zahrnuté tu)|||||F|||201908051529-0500
 OBX|42|ST|739536^MDC_IDC_EPISODE_ID^MDC|6|T-1|||||F
 OBX|43|DTM|739552^MDC_IDC_EPISODE_DTM^MDC|6|201908051413-0500|||||F
 OBX|44|CWE|739568^MDC_IDC_EPISODE_TYPE^MDC|6|754882^MDC_IDC_ENUM_
 EPISODE_TYPE_Epis_VT^MDC|||||F
 OBX|45|CWE|739600^MDC_IDC_EPISODE_VENDOR_TYPE^MDC|6|771100^MDC_IDC_ENUM_
 EPISODE_VENDOR_TYPE_BSX-Epis_ICM_Tachy^MDC|||||F
 OBX|46|NM|739712
 ^MDC_IDC_EPISODE_DURATION^MDC|6|24|s|||||F
 OBX|47|ST|739680^MDC_IDC_EPISODE_DETECTION_THERAPY_DETAILS
 ^MDC|6|Symptom; Avg Rate=207, Max Rate=225; Sitting; Light Headed
 (Príznak; priemerná frekvencia = 207, max. frekvencia = 225; posediačky; závrat)|||||F
 OBX|48|ED|18750-0^Cardiac Electrophysiology Report

```
(Správa srdcovej elektrofyziológie)^LN^T-1 - Event Detail Report
(Správa s podrobnosťami k udalostiam)|6|
Application^PDF^Base64^{encoded PDF included here}
(kódované PDF zahrnuté tu)|||||F|||201908051529-0500
OBX|49|ST|739536^MDC_IDC_EPISODE_ID^MDC|7|PT-1|||||F
OBX|50|DTM|739552^MDC_IDC_EPISODE_DTM^MDC|7|201908051409-0500|||||F
OBX|51|CWE|739568^MDC_IDC_EPISODE_TYPE^MDC|7|754887^MDC_IDC_ENUM_
EPISODE_TYPE_Epis_PatientActivated^MDC|||||F
OBX|52|CWE|739600^MDC_IDC_EPISODE_VENDOR_TYPE^MDC|7|771107^MDC_IDC_ENUM_
EPISODE_VENDOR_TYPE_BSX-Epis_ICM_Symptom^MDC|||||F
OBX|53|NM|739712^MDC_IDC_EPISODE_DURATION^MDC|7|290|s|||||F
OBX|54|ST|739680^MDC_IDC_EPISODE_DETECTION_THERAPY_DETAILS
^MDC|7|Active; Heart Racing, Shortness of Breath (Aktívna; búšenie srdca, dušnosť)|||||F
OBX|55|ED|18750-0^Cardiac Electrophysiology Report (Správa srdcovej
elektrofyziológie)^LN^PT-1 - Event Detail Report
(Správa s podrobnosťami k udalostiam)|7|
Application^PDF^Base64^{encoded PDF included here}
(kódované PDF zahrnuté tu)|||||F|||201908051529-0500
OBX|56|DTM|737489^MDC_IDC_STAT_DTM_START^MDC||20190805|||||F
OBX|57|DTM|737490^MDC_IDC_STAT_DTM_END^MDC||20190805|||||F
OBX|58|CWE|737952^MDC_IDC_STAT_EPISODE_TYPE^MDC|1|754888^MDC_IDC_ENUM_
EPISODE_TYPE_Epis_Other^MDC|||||F
OBX|59|CWE|737984^MDC_IDC_STAT_EPISODE_VENDOR_TYPE^MDC|1|771096^MDC_IDC_ENUM_
EPISODE_VENDOR_TYPE_BSX-Epis_ICM_Brady^MDC|||||F
OBX|60|NM|738000^MDC_IDC_STAT_EPISODE_RECENT_COUNT
^MDC|1|1|||||F
OBX|61|DTM|738017^MDC_IDC_STAT_EPISODE_RECENT_COUNT_DTM_START
^MDC|1|20190805|||||F
OBX|62|DTM|738018^MDC_IDC_STAT_EPISODE_RECENT_COUNT_DTM_END
^MDC|1|20190805|||||F
OBX|63|NM|738032^MDC_IDC_STAT_EPISODE_TOTAL_COUNT^MDC|1|1|||||F
OBX|64|DTM|738049^MDC_IDC_STAT_EPISODE_TOTAL_COUNT_DTM_START
^MDC|1|20190805|||||F
OBX|65|DTM|738050^MDC_IDC_STAT_EPISODE_TOTAL_COUNT_DTM_END^MDC|1|20190805|||||F
OBX|66|CWE|737952^MDC_IDC_STAT_EPISODE_TYPE^MDC|2|754882^MDC_IDC_ENUM_
EPISODE_TYPE_Epis_VT^MDC|||||F
OBX|67|CWE|737984^MDC_IDC_STAT_EPISODE_VENDOR_TYPE^MDC|2|771100^MDC_IDC_ENUM_
EPISODE_VENDOR_TYPE_BSX-Epis_ICM_Tachy^MDC|||||F
OBX|68|NM|738000^MDC_IDC_STAT_EPISODE_RECENT_COUNT^MDC|2|1|||||F
OBX|69|DTM|738017^MDC_IDC_STAT_EPISODE_RECENT_COUNT_DTM_START^MDC|2|20190805|||||F
OBX|70|DTM|738018^MDC_IDC_STAT_EPISODE_RECENT_COUNT_DTM_END^MDC|2|20190805|||||F
OBX|71|NM|738032^MDC_IDC_STAT_EPISODE_TOTAL_COUNT^MDC|2|1|||||F
OBX|72|DTM|738049^MDC_IDC_STAT_EPISODE_TOTAL_COUNT_DTM_START^MDC|2|20190805|||||F
OBX|73|DTM|738050^MDC_IDC_STAT_EPISODE_TOTAL_COUNT_DTM_END^MDC|2|20190805|||||F
OBX|74|CWE|737952^MDC_IDC_STAT_EPISODE_TYPE^MDC|3|754883^MDC_IDC_ENUM_
EPISODE_TYPE_Epis_ATAF^MDC|||||F
OBX|75|CWE|737984^MDC_IDC_STAT_EPISODE_VENDOR_TYPE^MDC|3|771099^MDC_IDC_ENUM_
EPISODE_VENDOR_TYPE_BSX-Epis_ICM_AF^MDC|||||F
OBX|76|NM|738000^MDC_IDC_STAT_EPISODE_RECENT_COUNT^MDC|3|1|||||F
OBX|77|DTM|738017^MDC_IDC_STAT_EPISODE_RECENT_COUNT_DTM_START^MDC|3|20190805|||||F
OBX|78|DTM|738018^MDC_IDC_STAT_EPISODE_RECENT_COUNT_DTM_END^MDC|3|20190805|||||F
OBX|79|NM|738032^MDC_IDC_STAT_EPISODE_TOTAL_COUNT^MDC|3|1|||||F
OBX|80|DTM|738049^MDC_IDC_STAT_EPISODE_TOTAL_COUNT_DTM_START^MDC|3|20190805|||||F
OBX|81|DTM|738050^MDC_IDC_STAT_EPISODE_TOTAL_COUNT_DTM_END^MDC|3|20190805|||||F
OBX|82|CWE|737952^MDC_IDC_STAT_EPISODE_TYPE^MDC|4|754883^MDC_IDC_ENUM_
EPISODE_TYPE_Epis_ATAF^MDC|||||F
OBX|83|CWE|737984^MDC_IDC_STAT_EPISODE_VENDOR_TYPE^MDC|4|771098^MDC_IDC_ENUM_
EPISODE_VENDOR_TYPE_BSX-Epis_ICM_AF^MDC|||||F
OBX|84|NM|738000^MDC_IDC_STAT_EPISODE_RECENT_COUNT^MDC|4|1|||||F
```


OBX|85|DTM|738017^MDC_IDC_STAT_EPISODE_RECENT_COUNT_DTM_START^MDC|4|20190805|||||F
 OBX|86|DTM|738018^MDC_IDC_STAT_EPISODE_RECENT_COUNT_DTM_END^MDC|4|20190805|||||F
 OBX|87|NM|738032^MDC_IDC_STAT_EPISODE_TOTAL_COUNT^MDC|4|1|||||F
 OBX|88|DTM|738049^MDC_IDC_STAT_EPISODE_TOTAL_COUNT_DTM_START^MDC|4|20190805|||||F
 OBX|89|DTM|738050^MDC_IDC_STAT_EPISODE_TOTAL_COUNT_DTM_END^MDC|4|20190805|||||F
 OBX|90|CWE|737952^MDC_IDC_STAT_EPISODE_TYPE^MDC|5|754888^MDC_IDC_ENUM_
 EPISODE_TYPE_Epis_Other^MDC|||||F
 OBX|91|CWE|737984^MDC_IDC_STAT_EPISODE_VENDOR_TYPE^MDC|5|771097^MDC_IDC_ENUM_
 EPISODE_VENDOR_TYPE_BSX-Epis_ICM_Pause^MDC|||||F
 OBX|92|NM|738000^MDC_IDC_STAT_EPISODE_RECENT_COUNT^MDC|5|1|||||F
 OBX|93|DTM|738017^MDC_IDC_STAT_EPISODE_RECENT_COUNT_DTM_START^MDC|5|20190805|||||F
 OBX|94|DTM|738018^MDC_IDC_STAT_EPISODE_RECENT_COUNT_DTM_END^MDC|5|20190805|||||F
 OBX|95|NM|738032^MDC_IDC_STAT_EPISODE_TOTAL_COUNT^MDC|5|1|||||F
 OBX|96|DTM|738049^MDC_IDC_STAT_EPISODE_TOTAL_COUNT_DTM_START^MDC|5|20190805|||||F
 OBX|97|DTM|738050^MDC_IDC_STAT_EPISODE_TOTAL_COUNT_DTM_END^MDC|5|20190805|||||F
 OBX|98|CWE|737952^MDC_IDC_STAT_EPISODE_TYPE^MDC|6|754887^MDC_IDC_ENUM_
 EPISODE_TYPE_Epis_PatientActivated^MDC|||||F
 OBX|99|CWE|737984^MDC_IDC_STAT_EPISODE_VENDOR_TYPE^MDC|6|771107^MDC_IDC_ENUM_
 EPISODE_VENDOR_TYPE_BSX-Epis_ICM_Symptom^MDC|||||F
 OBX|100|NM|738000^MDC_IDC_STAT_EPISODE_RECENT_COUNT^MDC|6|2|||||F
 OBX|101|DTM|738017^MDC_IDC_STAT_EPISODE_RECENT_COUNT_DTM_START^MDC|6|20190805|||||F
 OBX|102|DTM|738018^MDC_IDC_STAT_EPISODE_RECENT_COUNT_DTM_END^MDC|6|20190805|||||F
 OBX|103|NM|738032^MDC_IDC_STAT_EPISODE_TOTAL_COUNT^MDC|6|2|||||F
 OBX|104|DTM|738049^MDC_IDC_STAT_EPISODE_TOTAL_COUNT_DTM_START^MDC|6|20190805|||||F
 OBX|105|DTM|738050^MDC_IDC_STAT_EPISODE_TOTAL_COUNT_DTM_END^MDC|6|20190805|||||F
 OBX|106|CWE|737952^MDC_IDC_STAT_EPISODE_TYPE^MDC|7|754882^MDC_IDC_ENUM_
 EPISODE_TYPE_Epis_VT^MDC|||||F
 OBX|107|CWE|737984^MDC_IDC_STAT_EPISODE_VENDOR_TYPE^MDC|7|771112^MDC_IDC_ENUM_
 EPISODE_VENDOR_TYPE_BSX-Epis_ICM_Tachy_Symptom^MDC|||||F
 OBX|108|NM|738000^MDC_IDC_STAT_EPISODE_RECENT_COUNT^MDC|7|1|||||F
 OBX|109|DTM|738017^MDC_IDC_STAT_EPISODE_RECENT_COUNT_DTM_START^MDC|7|20190805|||||F
 OBX|110|DTM|738018^MDC_IDC_STAT_EPISODE_RECENT_COUNT_DTM_END^MDC|7|20190805|||||F
 OBX|111|NM|738032^MDC_IDC_STAT_EPISODE_TOTAL_COUNT^MDC|7|1|||||F
 OBX|112|DTM|738049^MDC_IDC_STAT_EPISODE_TOTAL_COUNT_DTM_START^MDC|7|20190805|||||F
 OBX|113|DTM|738050^MDC_IDC_STAT_EPISODE_TOTAL_COUNT_DTM_END^MDC|7|20190805|||||F
 OBX|114|ED|48750-0^Cardiac Electrophysiology Report (Správa srdcovej elektrofyziológie)
 ^LN^^Follow-up Report (Kontrolná správa)|7
 Application^PDF^^Base64^fencoded PDF included here|
 (kódované PDF zahrnuté tu)|7|7|F|201908051529-0500
 OBX|115|ED|48750-0^Cardiac Electrophysiology Report (Správa srdcovej elektrofyziológie)
 ^LN^^Presenting S-ECG Report (Úvodná správa zóny výboja)|1|
 Application^PDF^^Base64^fencoded PDF included here|
 (kódované PDF zahrnuté tu)|7|7|F|201908051529-0500

UKÁŽKOVÉ HLÁSENIE 3 – OSTATNÉ LIEČEBNÉ ZARIADENIA (NIE S-ICD)

MSH|^~\&|LATITUDE|BOSTON SCIENTIFIC||TestClinic|201305092136+0000||ORU^R01^ORU_R01
 |0|P|2.6|||||UNICODE UTF-8|en^English||THE_PCD_009^THE_PCD
 ^1.3.6.1.4.1.19376.1.6.1.9.1^ISO
 PID|1||model:N119/serial:900141^^^BSX^U||testLastName^testName^^^^^I
 ~testAuxLName^testAuxFName^^^^^P||19680215|U
 PV1|1|R
 PV2|||||||||||||||||||||TestDeviceGroup^^1
 OBR|1||1000000916|754054^MDC_IDC_ENUM_SESS_TYPE_RemotePatientInitiated
 ^MDC||201001151330-0500|||||||||||||||||F
 NTE|1||Feb 02, 2012 00:00 - Yellow Alert - Atrial Arrhythmia Burden of at least 3.0 hours
 in a 24 hour period. (2. február 2012 00:00 - Žltá výstraha -
 Zátťaž predsieňovou arytmiou po dobu najmenej 3,0 hodiny počas 24-hodinového intervalu.)
 NTE|2||Feb 02, 2012 00:00 - Yellow Alert - Atrial Arrhythmia Burden of at least 3.0 hours

in a 24 hour period between Jan 11, 2010 23:00 and Jan 12, 2010 00:00.

(2. február 2012 00:00 - Žltá výstraha - Zátáž predsieňovou arytmiou po dobu najmenej 3,0 hodiny počas

24-hodinového intervalu medzi 11. januárom 2010 23:00 a 12. januárom 2010 00:00.)

NTE|3||Feb 02, 2012 00:00 - Yellow Alert - Cardiac Resynchronization Therapy pacing of > 1%. Pacing was 2% between Jan 11, 2010 23:00 and Jan 12, 2010 00:00.

(2. február 2012 00:00 - Žltá výstraha - Stimulácia resynchronizačnou terapiou srdca > 1 %. Stimulácia bola 2 % medzi 11. januárom 2010 23:00 a 12. januárom 2010 00:00.)

NTE|4||Feb 02, 2012 00:00 - Yellow Alert - Right ventricular pacing of > 1%. Pacing was 2% between Jan 11, 2010 23:00 and Jan 12, 2010 00:00. (2. február 2012 00:00 - Žltá výstraha - Stimulácia pravej komory > 1 %. Stimulácia bola 2 % medzi 11. januárom 2010 23:00 a 12. januárom 2010 00:00.)

NTE|5||Feb 02, 2012 00:00 - Yellow Alert - Patient triggered event stored.

(2. február 2012 00:00 - Žltá výstraha - Udalosť spustená pacientom uložená.)

NTE|6||Feb 02, 2012 00:00 - Yellow Alert - Weight gain of at least 5 lb. in a week or at least 2 lb. average over a two or more day period. (2. február 2012 00:00 -

Žltá výstraha - Prírastok na hmotnosti najmenej 5 lb za týždeň alebo v priemere najmenej 2 lb za obdobie dvoch alebo viacerých dní.)

NTE|7||Feb 02, 2012 00:00 - Yellow Alert - Weight loss of at least 5 lb. in a week or at least 2 lb. average over a two or more day period. (2. február 2012 00:00 -

Žltá výstraha - Úbytok na hmotnosti najmenej 5 lb za týždeň alebo v priemere najmenej 2 lb za obdobie dvoch alebo viacerých dní.)

NTE|8||Feb 02, 2012 00:00 - Yellow Alert - Explant indicator reached on Jan 12, 2010 00:00. Schedule replacement of this device. (2. február 2012 00:00 - Žltá výstraha - Dosiiahnutie indikátora explantácie dňa 12. januára 2010 00:00. Naplánujte výmenu fohto zariadenia.)

NTE|9||Feb 02, 2012 00:00 - Yellow Alert - Voltage was too low for projected remaining capacity. (2. február 2012 00:00 - Žltá výstraha - Napätie je príliš nízke na plánovanú zostávajúcu kapacitu.)

NTE|10||Feb 02, 2012 00:00 - Red Alert - Remote monitoring disabled on Jan 12, 2010 00:00 due to limited battery capacity (Explant indicator reached on Feb 12, 2010 00:00).

(2. február 2012 00:00 - Červená výstraha - Vzdialené monitorovanie vypnuté dňa 12. januára 2010 00:00 z dôvodu obmedzenej kapacity batérie (Dosiiahnutie indikátora explantácie dňa 12. februára 2010 00:00).)

NTE|11||Feb 02, 2012 00:00 - Yellow Alert - Therapy history corruption detected. Previously stored therapy history data has been deleted. (2. február 2012 00:00 -

Žltá výstraha - Zistenie porušenia histórie liečby. Doteraz uložené údaje histórie liečby boli odstránené.)

NTE|12||Feb 02, 2012 00:00 - Red Alert - Possible device malfunction (Fault Code 1011).

(2. február 2012 00:00 - Červená výstraha - Možné zlyhanie zariadenia (Chybový kód 1011).)

NTE|13||Feb 02, 2012 00:00 - Red Alert - Possible device malfunction (Fault Code 1007).

(2. február 2012 00:00 - Červená výstraha - Možné zlyhanie zariadenia (Chybový kód 1007).)

NTE|14||Feb 02, 2012 00:00 - Red Alert - Possible device malfunction (Fault Code 1009).

(2. február 2012 00:00 - Červená výstraha - Možné zlyhanie zariadenia (Chybový kód 1009).)

NTE|15||Feb 02, 2012 00:00 - Red Alert - Device is in Safety Mode. For patient protection the device has been switched to Safety Mode. (2. február 2012 00:00 - Červená výstraha - Zariadenie je v bezpečnostnom režime. Zariadenie bolo prepnuté do bezpečnostného režimu z dôvodu ochrany pacienta.)

NTE|16||Feb 02, 2012 00:00 - Yellow Alert - Right ventricular automatic threshold detected as > programmed amplitude or suspended. (2. február 2012 00:00 - Žltá výstraha -

Automatický prah pravej komory zistený ako > naprogramovaná amplitúda alebo pozastavený.)

NTE|17||Feb 02, 2012 00:00 - Yellow Alert - Atrial automatic threshold detected as > programmed amplitude or suspended. (2. február 2012 00:00 - Žltá výstraha -

Automatický prah predsieňe zistený ako > naprogramovaná amplitúda alebo pozastavený.)

NTE|18||Feb 02, 2012 00:00 - Red Alert - Shock lead impedance out of range.

(2. február 2012 00:00 - Červená výstraha - Impedancia výbojovej elektródy je mimo rozsahu.)

NTE|19||Feb 02, 2012 00:00 - Red Alert - Low shock lead impedance

detected when attempting to deliver a shock. (2. február 2012 00:00 - Červená výstraha - Pri pokuse o dodanie výboja bola zistená nízka impedancia výbojovej elektródy.)

NTE|20||Feb 02, 2012 00:00 - Red Alert - High shock lead impedance detected when attempting to deliver a shock. (2. február 2012 00:00 - Červená výstraha - Pri pokuse o dodanie výboja bola zistená vysoká impedancia výbojovej elektródy.)

NTE|21||Feb 02, 2012 00:00 - Red Alert - High voltage detected on shock lead during charge. (2. február 2012 00:00 - Červená výstraha - Pri nabíjaní bolo zistené vysoké napätie na výbojovej elektróde.)

NTE|22||Feb 02, 2012 00:00 - Red Alert - Electrocautery Protection is active. (2. február 2012 00:00 - Červená výstraha - Ochrana pred elektrokauterizáciou je aktívna.)

NTE|23||Feb 02, 2012 00:00 - Yellow Alert - VT Episode occurred (V>A). (2. február 2012 00:00 - Žltá výstraha - Došlo k epizóde VT (V>A).)

NTE|24||Feb 02, 2012 00:00 - Yellow Alert - Device Brady Mode is Off. Brady therapy will not be delivered. (2. február 2012 00:00 - Žltá výstraha - Brady režim zariadenia je vypnutý. Liečba bradykardie nebude podaná.)

NTE|25||Feb 02, 2012 00:00 - Yellow Alert - Left ventricular pacing lead impedance out of range. (2. február 2012 00:00 - Žltá výstraha - Impedancia ľavokomorovej stimulačnej elektródy je mimo rozsahu.)

NTE|26||Feb 02, 2012 00:00 - Yellow Alert - Atrial pacing lead impedance out of range. (2. február 2012 00:00 - Žltá výstraha - Impedancia predsieňovej stimulačnej elektródy je mimo rozsahu.)

NTE|27||Feb 02, 2012 00:00 - Yellow Alert - Right ventricular intrinsic amplitude out of range. (2. február 2012 00:00 - Žltá výstraha - Vlastná pravokomorová amplitúda je mimo rozsahu.)

NTE|28||Feb 02, 2012 00:00 - Yellow Alert - Intrinsic amplitude out of range. (2. február 2012 00:00 - Žltá výstraha - Vlastná amplitúda je mimo rozsahu.)

NTE|29||Feb 02, 2012 00:00 - Yellow Alert - Left ventricular intrinsic amplitude out of range. (2. február 2012 00:00 - Žltá výstraha - Vlastná ľavokomorová amplitúda je mimo rozsahu.)

NTE|30||Feb 02, 2012 00:00 - Yellow Alert - Atrial intrinsic amplitude out of range. (2. február 2012 00:00 - Žltá výstraha - Vlastná predsieňová amplitúda je mimo rozsahu.)

NTE|31||Feb 02, 2012 00:00 - Red Alert - Right ventricular pacing lead impedance out of range. (2. február 2012 00:00 - Červená výstraha - Impedancia pravokomorovej stimulačnej elektródy je mimo rozsahu.)

NTE|32||Feb 02, 2012 00:00 - Red Alert - Pacing lead impedance out of range. (2. február 2012 00:00 - Červená výstraha - Impedancia stimulačnej elektródy je mimo rozsahu.)

NTE|33||Feb 02, 2012 00:00 - Yellow Alert - Ventricular shock therapy delivered to convert arrhythmia. (2. február 2012 00:00 - Žltá výstraha - Komorová liečba výbojom aplikovaná na konvertovanie arytmie.)

NTE|34||Feb 02, 2012 00:00 - Yellow Alert - Accelerated ventricular arrhythmia episode. (2. február 2012 00:00 - Žltá výstraha - Epizóda zrýchlenej komorovej arytmie.)

NTE|35||Feb 02, 2012 00:00 - Red Alert - V-Tachy mode set to value other than Monitor + Therapy. (2. február 2012 00:00 - Červená výstraha - Režim V-Tachy (V-tachy) nastavený na inú hodnotu ako Monitor + Therapy (Monitorovanie + liečba).)

NTE|36||Feb 02, 2012 00:00 - Red Alert - Lead Check notification due to abrupt change in right ventricular pacing lead impedance in the past 7 days. (2. február 2012 00:00 - Červená výstraha - Upozornenie na kontrolu elektródy kvôli náhlej zmene impedancie pravokomorovej stimulačnej elektródy v posledných 7 dňoch.)

NTE|37||Feb 02, 2012 00:00 - Red Alert - Lead Check notification due to episode with potential right ventricular non-physiologic signal. (2. február 2012 00:00 - Červená výstraha - Upozornenie na kontrolu elektródy kvôli epizóde s potenciálnym nefyziologickým pravokomorovým signálom.)

NTE|38||Feb 02, 2012 00:00 - Yellow Alert - Left ventricular automatic threshold detected as > programmed amplitude or suspended. (2. február 2012 00:00 - Žltá výstraha - Automatický prah ľavej komory zistený ako > naprogramovaná amplitúda alebo pozastavený.)

OBX|1|ST|739536^MDC_IDC_EPISODE_ID^MDC|1|MRI-16|||||F
OBX|2|DTM|739552^MDC_IDC_EPISODE_DTM^MDC|1|200101020304|||||F
OBX|3|CWE|739568^MDC_IDC_EPISODE_TYPE^MDC|1|754888
^MDC_IDC_ENUM_EPISODE_TYPE_Epis_Other^MDC|||||F
OBX|4|CWE|739600^MDC_IDC_EPISODE_VENDOR_TYPE^MDC|1|||||F
OBX|5|NM|739712^MDC_IDC_EPISODE_DURATION^MDC|1|100|s|||||F
OBX|6|ST|739680^MDC_IDC_EPISODE_DETECTION_THERAPY_DETAILS
^MDC|1|MRI Protection Mode|||||F (Režim ochrany pri MRI)
OBX|7|ST|739536^MDC_IDC_EPISODE_ID^MDC|2|LVAT-15|||||F
OBX|8|DTM|739552^MDC_IDC_EPISODE_DTM^MDC|2|200101020304|||||F
OBX|9|CWE|739568^MDC_IDC_EPISODE_TYPE^MDC|2|754888
^MDC_IDC_ENUM_EPISODE_TYPE_Epis_Other^MDC|||||F
OBX|10|CWE|739600^MDC_IDC_EPISODE_VENDOR_TYPE^MDC|2|||||F
OBX|11|NM|739712^MDC_IDC_EPISODE_DURATION^MDC|2|100|s|||||F
OBX|12|ST|739680^MDC_IDC_EPISODE_DETECTION_THERAPY_DETAILS^MDC|2|LV Auto|||||F
(LV (LK) automaticky)
OBX|13|ST|739536^MDC_IDC_EPISODE_ID^MDC|3|RVAT-14|||||F
OBX|14|DTM|739552^MDC_IDC_EPISODE_DTM^MDC|3|200101020304|||||F
OBX|15|CWE|739568^MDC_IDC_EPISODE_TYPE^MDC|3|754888
^MDC_IDC_ENUM_EPISODE_TYPE_Epis_Other^MDC|||||F
OBX|16|CWE|739600^MDC_IDC_EPISODE_VENDOR_TYPE^MDC|3|||||F
OBX|17|NM|739712^MDC_IDC_EPISODE_DURATION^MDC|3|100|s|||||F
OBX|18|ST|739680^MDC_IDC_EPISODE_DETECTION_THERAPY_DETAILS^MDC|3|RV Auto|||||F
(RV (PK) automaticky)
OBX|19|ST|739536^MDC_IDC_EPISODE_ID^MDC|4|APM-13|||||F
OBX|20|DTM|739552^MDC_IDC_EPISODE_DTM^MDC|4|200101020304|||||F
OBX|21|CWE|739568^MDC_IDC_EPISODE_TYPE^MDC|4|754888
^MDC_IDC_ENUM_EPISODE_TYPE_Epis_PeriodicEGM^MDC|||||F
OBX|22|CWE|739600^MDC_IDC_EPISODE_VENDOR_TYPE^MDC|4|771085
^MDC_IDC_ENUM_EPISODE_VENDOR_TYPE_BSX-Epis_APMRT^MDC|||||F
OBX|23|ST|739680^MDC_IDC_EPISODE_DETECTION_THERAPY_DETAILS^MDC|4|Presenting EGM|||||F
(Úvodný EGM)
OBX|24|ST|739536^MDC_IDC_EPISODE_ID^MDC|5|PTM-12|||||F
OBX|25|DTM|739552^MDC_IDC_EPISODE_DTM^MDC|5|200101020304|||||F
OBX|26|CWE|739568^MDC_IDC_EPISODE_TYPE^MDC|5|754887
^MDC_IDC_ENUM_EPISODE_TYPE_Epis_PatientActivated^MDC|||||F
OBX|27|CWE|739600^MDC_IDC_EPISODE_VENDOR_TYPE^MDC|5|771080
^MDC_IDC_ENUM_EPISODE_VENDOR_TYPE_BSX-Epis_PTM^MDC|||||F
OBX|28|NM|739648^MDC_IDC_EPISODE_VENTRICULAR_INTERVAL_AT_DETECTION
^MDC|5|30000|ms|||||F
OBX|29|NM|739712^MDC_IDC_EPISODE_DURATION^MDC|5|100|s|||||F
OBX|30|ST|739680^MDC_IDC_EPISODE_DETECTION_THERAPY_DETAILS^MDC|5|PTM|||||F
OBX|31|ST|739536^MDC_IDC_EPISODE_ID^MDC|6|RAAT-11|||||F
OBX|32|DTM|739552^MDC_IDC_EPISODE_DTM^MDC|6|200101020304|||||F
OBX|33|CWE|739568^MDC_IDC_EPISODE_TYPE^MDC|6|754888
^MDC_IDC_ENUM_EPISODE_TYPE_Epis_Other^MDC|||||F
OBX|34|CWE|739600^MDC_IDC_EPISODE_VENDOR_TYPE^MDC|6|||||F
OBX|35|NM|739712^MDC_IDC_EPISODE_DURATION^MDC|6|100|s|||||F
OBX|36|ST|739680^MDC_IDC_EPISODE_DETECTION_THERAPY_DETAILS^MDC|6|RA Auto|||||F
(RA (PP) automaticky)
OBX|37|ST|739536^MDC_IDC_EPISODE_ID^MDC|7|RYTHMIQ-10|||||F
OBX|38|DTM|739552^MDC_IDC_EPISODE_DTM^MDC|7|200101020304|||||F
OBX|39|CWE|739568^MDC_IDC_EPISODE_TYPE^MDC|7|754888
^MDC_IDC_ENUM_EPISODE_TYPE_Epis_Other^MDC|||||F
OBX|40|CWE|739600^MDC_IDC_EPISODE_VENDOR_TYPE^MDC|7|771084
^MDC_IDC_ENUM_EPISODE_VENDOR_TYPE_BSX-Epis_RMS^MDC|||||F
OBX|41|NM|739648
^MDC_IDC_EPISODE_VENTRICULAR_INTERVAL_AT_DETECTION^MDC|7|30000|ms|||||F
OBX|42|NM|739712^MDC_IDC_EPISODE_DURATION^MDC|7|100|s|||||F

OBX|43|ST|739680^MDC_IDC_EPISODE_DETECTION_THERAPY_DETAILS^MDC|7|RYTHMIQ|||||F
 OBX|44|ST|739536^MDC_IDC_EPISODE_ID^MDC|8|RMS-9|||||F
 OBX|45|DTM|739552^MDC_IDC_EPISODE_DTM^MDC|8|200101020304|||||F
 OBX|46|CWE|739568^MDC_IDC_EPISODE_TYPE
 ^MDC|8|754888^MDC_IDC_ENUM_EPISODE_TYPE_Epis_Other^MDC|||||F
 OBX|47|CWE|739600^MDC_IDC_EPISODE_VENDOR_TYPE^MDC|8|771084
 ^MDC_IDC_ENUM_EPISODE_VENDOR_TYPE_BSX-Epis_RMS^MDC|||||F
 OBX|48|NM|739648
 ^MDC_IDC_EPISODE_VENTRICULAR_INTERVAL_AT_DETECTION^MDC|8|30000|ms|||||F
 OBX|49|NM|739712^MDC_IDC_EPISODE_DURATION^MDC|8|100|s|||||F
 OBX|50|ST|739680^MDC_IDC_EPISODE_DETECTION_THERAPY_DETAILS^MDC|8|RMS|||||F
 OBX|51|ST|739536^MDC_IDC_EPISODE_ID^MDC|9|V-8|||||F
 OBX|52|DTM|739552^MDC_IDC_EPISODE_DTM^MDC|9|200101020304|||||F
 OBX|53|CWE|739568^MDC_IDC_EPISODE_TYPE
 ^MDC|9|754881^MDC_IDC_ENUM_EPISODE_TYPE_Epis_VF^MDC|||||F
 OBX|54|CWE|739600^MDC_IDC_EPISODE_VENDOR_TYPE
 ^MDC|9|771073^MDC_IDC_ENUM_EPISODE_VENDOR_TYPE_BSX-Epis_VF^MDC|||||F
 OBX|55|CWE|739584^MDC_IDC_EPISODE_TYPE_INDUCED^MDC|9|755329
 ^MDC_IDC_ENUM_EPISODE_TYPE_INDUCED_YES^MDC|||||F
 OBX|56|NM|739648
 ^MDC_IDC_EPISODE_VENTRICULAR_INTERVAL_AT_DETECTION^MDC|9|30000|ms|||||F
 OBX|57|NM|739712^MDC_IDC_EPISODE_DURATION^MDC|9|100|s|||||F
 OBX|58|ST|739680
 ^MDC_IDC_EPISODE_DETECTION_THERAPY_DETAILS^MDC|9|VF ATPx1, 0.1J, 0.2J, 31Jx2
 (VF ATP x 1; 0,1 J; 0,2 J; 31 J x 2)|||||F
 OBX|59|ST|739536^MDC_IDC_EPISODE_ID^MDC|10|PMT-7|||||F
 OBX|60|DTM|739552^MDC_IDC_EPISODE_DTM^MDC|10|200101020304|||||F
 OBX|61|CWE|739568^MDC_IDC_EPISODE_TYPE^MDC|10|754888
 ^MDC_IDC_ENUM_EPISODE_TYPE_Epis_Other^MDC|||||F
 OBX|62|CWE|739600^MDC_IDC_EPISODE_VENDOR_TYPE^MDC|10|771079
 ^MDC_IDC_ENUM_EPISODE_VENDOR_TYPE_BSX-Epis_PMT^MDC|||||F
 OBX|63|NM|739648^MDC_IDC_EPISODE_VENTRICULAR_INTERVAL_AT_DETECTION
 ^MDC|10|30000|ms|||||F
 OBX|64|NM|739712^MDC_IDC_EPISODE_DURATION^MDC|10|100|s|||||F
 OBX|65|ST|739680^MDC_IDC_EPISODE_DETECTION_THERAPY_DETAILS^MDC|10|PMT|||||F
 OBX|66|ST|739536^MDC_IDC_EPISODE_ID^MDC|11|V-6|||||F
 OBX|67|DTM|739552^MDC_IDC_EPISODE_DTM^MDC|11|200101020304|||||F
 OBX|68|CWE|739568^MDC_IDC_EPISODE_TYPE^MDC|11|754882
 ^MDC_IDC_ENUM_EPISODE_TYPE_Epis_VT^MDC|||||F
 OBX|69|CWE|739600^MDC_IDC_EPISODE_VENDOR_TYPE^MDC|11|771075
 ^MDC_IDC_ENUM_EPISODE_VENDOR_TYPE_BSX-Epis_VT-1^MDC|||||F
 OBX|70|CWE|739584^MDC_IDC_EPISODE_TYPE_INDUCED^MDC|11|755329
 ^MDC_IDC_ENUM_EPISODE_TYPE_INDUCED_YES^MDC|||||F
 OBX|71|NM|739648^MDC_IDC_EPISODE_VENTRICULAR_INTERVAL_AT_DETECTION
 ^MDC|11|30000|ms|||||F
 OBX|72|NM|739712^MDC_IDC_EPISODE_DURATION^MDC|11|100|s|||||F
 OBX|73|ST|739680^MDC_IDC_EPISODE_DETECTION_THERAPY_DETAILS
 ^MDC|11|VT-1 ATPx1, 0.1J, 0.2J, 31Jx2 (VT-1 ATP x 1; 0,1 J; 0,2 J; 31 J x 2)|||||F
 OBX|74|ST|739536^MDC_IDC_EPISODE_ID^MDC|12|ATR-5|||||F
 OBX|75|DTM|739552^MDC_IDC_EPISODE_DTM^MDC|12|200101020304|||||F
 OBX|76|CWE|739568^MDC_IDC_EPISODE_TYPE^MDC|12|754883
 ^MDC_IDC_ENUM_EPISODE_TYPE_Epis_ATAF^MDC|||||F
 OBX|77|CWE|739600^MDC_IDC_EPISODE_VENDOR_TYPE^MDC|12|771078
 ^MDC_IDC_ENUM_EPISODE_VENDOR_TYPE_BSX-Epis_ATR^MDC|||||F
 OBX|78|NM|739616^MDC_IDC_EPISODE_atrial_INTERVAL_AT_DETECTION^MDC|12|20000|ms|||||F
 OBX|79|NM|739712^MDC_IDC_EPISODE_DURATION^MDC|12|100|s|||||F
 OBX|80|ST|739680^MDC_IDC_EPISODE_DETECTION_THERAPY_DETAILS^MDC|12|ATR|||||F
 OBX|81|ST|739536^MDC_IDC_EPISODE_ID^MDC|13|V-4|||||F
 OBX|82|DTM|739552^MDC_IDC_EPISODE_DTM^MDC|13|200101020304|||||F

OBX|83|CWE|739568^MDC_IDC_EPISODE_TYPE^MDC|13|754882
 ^MDC_IDC_ENUM_EPISODE_TYPE_Epis_VT^MDC|||||F
 OBX|84|CWE|739600^MDC_IDC_EPISODE_VENDOR_TYPE^MDC|13|771077
 ^MDC_IDC_ENUM_EPISODE_VENDOR_TYPE_BSX-Epis_NSVT^MDC|||||F
 OBX|85|CWE|739584^MDC_IDC_EPISODE_TYPE_INDUCED^MDC|13|755329
 ^MDC_IDC_ENUM_EPISODE_TYPE_INDUCED_YES^MDC|||||F
 OBX|86|NM|739648^MDC_IDC_EPISODE_VENTRICULAR_INTERVAL_AT_DETECTION
 ^MDC|13|30000|ms|||||F
 OBX|87|NM|739712^MDC_IDC_EPISODE_DURATION^MDC|13|100|s|||||F
 OBX|88|ST|739680^MDC_IDC_EPISODE_DETECTION_THERAPY_DETAILS^MDC|13|NonSustV|||||F
 OBX|89|ST|739536^MDC_IDC_EPISODE_ID^MDC|14|V-3|||||F
 OBX|90|DTM|739552^MDC_IDC_EPISODE_DTM^MDC|14|200101020304|||||F
 OBX|91|CWE|739568^MDC_IDC_EPISODE_TYPE^MDC|14|754882
 ^MDC_IDC_ENUM_EPISODE_TYPE_Epis_VT^MDC|||||F
 OBX|92|CWE|739600^MDC_IDC_EPISODE_VENDOR_TYPE^MDC|14|771074
 ^MDC_IDC_ENUM_EPISODE_VENDOR_TYPE_BSX-Epis_VT^MDC|||||F
 OBX|93|CWE|739584^MDC_IDC_EPISODE_TYPE_INDUCED^MDC|14|755329
 ^MDC_IDC_ENUM_EPISODE_TYPE_INDUCED_YES^MDC|||||F
 OBX|94|NM|739648^MDC_IDC_EPISODE_VENTRICULAR_INTERVAL_AT_DETECTION
 ^MDC|14|30000|ms|||||F
 OBX|95|NM|739712^MDC_IDC_EPISODE_DURATION^MDC|14|100|s|||||F
 OBX|96|ST|739680^MDC_IDC_EPISODE_DETECTION_THERAPY_DETAILS
 ^MDC|14|VT ATPx1, 0.1J, 0.2J, 31Jx2 (VT ATP x 1; 0,1 J; 0,2 J; 31 J x 2)|||||F
 OBX|97|ST|739536^MDC_IDC_EPISODE_ID^MDC|15|SBR-2|||||F
 OBX|98|DTM|739552^MDC_IDC_EPISODE_DTM^MDC|15|200101020304|||||F
 OBX|99|CWE|739568^MDC_IDC_EPISODE_TYPE^MDC|15|754888
 ^MDC_IDC_ENUM_EPISODE_TYPE_Epis_Other^MDC|||||F
 OBX|100|CWE|739600^MDC_IDC_EPISODE_VENDOR_TYPE^MDC|15|||||F
 OBX|101|NM|739616^MDC_IDC_EPISODE_ATRIAL_INTERVAL_AT_DETECTION^MDC|15|20000|ms|||||F
 OBX|102|NM|739712^MDC_IDC_EPISODE_DURATION^MDC|15|100|s|||||F
 OBX|103|ST|739680^MDC_IDC_EPISODE_DETECTION_THERAPY_DETAILS^MDC|15|SBR|||||F
 OBX|104|ST|739536^MDC_IDC_EPISODE_ID^MDC|16|V-1|||||F
 OBX|105|DTM|739552^MDC_IDC_EPISODE_DTM^MDC|16|200101020304|||||F
 OBX|106|CWE|739568^MDC_IDC_EPISODE_TYPE^MDC|16|754888
 ^MDC_IDC_ENUM_EPISODE_TYPE_Epis_Other^MDC|||||F
 OBX|107|CWE|739600^MDC_IDC_EPISODE_VENDOR_TYPE^MDC|16|||||F
 OBX|108|CWE|739584^MDC_IDC_EPISODE_TYPE_INDUCED^MDC|16|755329
 ^MDC_IDC_ENUM_EPISODE_TYPE_INDUCED_YES^MDC|||||F
 OBX|109|NM|739648^MDC_IDC_EPISODE_VENTRICULAR_INTERVAL_AT_DETECTION
 ^MDC|16|30000|ms|||||F
 OBX|110|NM|739712^MDC_IDC_EPISODE_DURATION^MDC|16|100|s|||||F
 OBX|111|ST|739680^MDC_IDC_EPISODE_DETECTION_THERAPY_DETAILS
 ^MDC|16|Cmd V Therapy Delivered (Aplikovaná liečba Príkáz. V)|||||F
 OBX|112|ED|18750-0^Cardiac Electrophysiology Report
 (Správa srdcovej elektrofyziológie)^LN||Application^PDF^
 ^Base64^(encoded PDF included here)
 (kódované PDF zahrnuté tu)|||||F||201001151330-0500
 OBX|113|ED|18750-0^Cardiac Electrophysiology Report
 (Správa srdcovej elektrofyziológie)^LN||4|Application^PDF^
 ^Base64^(encoded PDF included here)
 (kódované PDF zahrnuté tu)|||||F||201001151330-0500
 OBX|114|CWE|720897^MDC_IDC_DEV_TYPE^MDC||753665^MDC_IDC_ENUM_DEV_TYPE_IPG^MDC|||||F
 OBX|115|ST|720898^MDC_IDC_DEV_MODEL^MDC||N119|||||F
 OBX|116|ST|720899^MDC_IDC_DEV_SERIAL^MDC||900141|||||F
 OBX|117|CWE|720900^MDC_IDC_DEV_MFG^MDC||753732^MDC_IDC_ENUM_MFG_BSX^MDC|||||F
 OBX|118|DTM|720901^MDC_IDC_DEV_IMPLANT_DT^MDC||20120513|||||F
 OBX|119|ST|720961^MDC_IDC_LEAD_MODEL^MDC|1|12345|||||F
 OBX|120|ST|720962^MDC_IDC_LEAD_SERIAL^MDC|1|6789|||||F
 OBX|121|CWE|720963^MDC_IDC_LEAD_MFG^MDC|1|753731^MDC_IDC_ENUM_MFG_BIO^MDC|||||F

OBX|122|CWE|720965^MDC_IDC_LEAD_POLARITY_TYPE^MDC|1|753793
 ^MDC_IDC_ENUM_LEAD_POLARITY_TYPE_UNI^MDC|||||F
 OBX|123|DTM|720964^MDC_IDC_LEAD_IMPLANT_DT^MDC|1|201205|||||F
 OBX|124|CWE|720966^MDC_IDC_LEAD_LOCATION^MDC|1|753858
 ^MDC_IDC_ENUM_LEAD_LOCATION_CHAMBER_LV^MDC|||||F
 OBX|125|CWE|720967^MDC_IDC_LEAD_LOCATION_DETAIL_1
 ^MDC|1|753922^MDC_IDC_ENUM_LEAD_LOCATION_DETAIL_Apex^MDC|||||F
 OBX|126|CWE|720968^MDC_IDC_LEAD_LOCATION_DETAIL_2^MDC|1|753925
 ^MDC_IDC_ENUM_LEAD_LOCATION_DETAIL_VenaCava^MDC|||||F
 OBX|127|ST|720961^MDC_IDC_LEAD_MODEL^MDC|2|12345|||||F
 OBX|128|ST|720962^MDC_IDC_LEAD_SERIAL^MDC|2|6789|||||F
 OBX|129|CWE|720963^MDC_IDC_LEAD_MFG^MDC|2|753731^MDC_IDC_ENUM_MFG_BIO^MDC|||||F
 OBX|130|CWE|720965^MDC_IDC_LEAD_POLARITY_TYPE^MDC|2|753793
 ^MDC_IDC_ENUM_LEAD_POLARITY_TYPE_UNI^MDC|||||F
 OBX|131|DTM|720964^MDC_IDC_LEAD_IMPLANT_DT^MDC|2|201205|||||F
 OBX|132|CWE|720966^MDC_IDC_LEAD_LOCATION^MDC|2|753858
 ^MDC_IDC_ENUM_LEAD_LOCATION_CHAMBER_LV^MDC|||||F
 OBX|133|CWE|720967^MDC_IDC_LEAD_LOCATION_DETAIL_1^MDC|2|753922
 ^MDC_IDC_ENUM_LEAD_LOCATION_DETAIL_Apex^MDC|||||F
 OBX|134|CWE|720968^MDC_IDC_LEAD_LOCATION_DETAIL_2^MDC|2|753925
 ^MDC_IDC_ENUM_LEAD_LOCATION_DETAIL_VenaCava^MDC|||||F
 OBX|135|ST|720961^MDC_IDC_LEAD_MODEL^MDC|3|12345|||||F
 OBX|136|ST|720962^MDC_IDC_LEAD_SERIAL^MDC|3|6789|||||F
 OBX|137|CWE|720963^MDC_IDC_LEAD_MFG^MDC|3|753731^MDC_IDC_ENUM_MFG_BIO^MDC|||||F
 OBX|138|CWE|720965^MDC_IDC_LEAD_POLARITY_TYPE^MDC|3|753793
 ^MDC_IDC_ENUM_LEAD_POLARITY_TYPE_UNI^MDC|||||F
 OBX|139|DTM|720964^MDC_IDC_LEAD_IMPLANT_DT^MDC|3|201205|||||F
 OBX|140|CWE|720966^MDC_IDC_LEAD_LOCATION^MDC|3|753858
 ^MDC_IDC_ENUM_LEAD_LOCATION_CHAMBER_LV^MDC|||||F
 OBX|141|CWE|720967^MDC_IDC_LEAD_LOCATION_DETAIL_1^MDC|3|753922
 ^MDC_IDC_ENUM_LEAD_LOCATION_DETAIL_Apex^MDC|||||F
 OBX|142|CWE|720968^MDC_IDC_LEAD_LOCATION_DETAIL_2^MDC|3|753925
 ^MDC_IDC_ENUM_LEAD_LOCATION_DETAIL_VenaCava^MDC|||||F
 OBX|143|ST|720961^MDC_IDC_LEAD_MODEL^MDC|4|12345|||||F
 OBX|144|ST|720962^MDC_IDC_LEAD_SERIAL^MDC|4|6789|||||F
 OBX|145|CWE|720963^MDC_IDC_LEAD_MFG^MDC|4|753731^MDC_IDC_ENUM_MFG_BIO^MDC|||||F
 OBX|146|CWE|720965^MDC_IDC_LEAD_POLARITY_TYPE^MDC|4|753793
 ^MDC_IDC_ENUM_LEAD_POLARITY_TYPE_UNI^MDC|||||F
 OBX|147|DTM|720964^MDC_IDC_LEAD_IMPLANT_DT^MDC|4|201205|||||F
 OBX|148|CWE|720966^MDC_IDC_LEAD_LOCATION^MDC|4|753858
 ^MDC_IDC_ENUM_LEAD_LOCATION_CHAMBER_LV^MDC|||||F
 OBX|149|CWE|720967^MDC_IDC_LEAD_LOCATION_DETAIL_1^MDC|4|753922
 ^MDC_IDC_ENUM_LEAD_LOCATION_DETAIL_Apex^MDC|||||F
 OBX|150|CWE|720968^MDC_IDC_LEAD_LOCATION_DETAIL_2^MDC|4|753925
 ^MDC_IDC_ENUM_LEAD_LOCATION_DETAIL_VenaCava^MDC|||||F
 OBX|151|ST|720961^MDC_IDC_LEAD_MODEL^MDC|5|12345|||||F
 OBX|152|ST|720962^MDC_IDC_LEAD_SERIAL^MDC|5|6789|||||F
 OBX|153|CWE|720963^MDC_IDC_LEAD_MFG^MDC|5|753731^MDC_IDC_ENUM_MFG_BIO^MDC|||||F
 OBX|154|CWE|720965^MDC_IDC_LEAD_POLARITY_TYPE^MDC|5|753793
 ^MDC_IDC_ENUM_LEAD_POLARITY_TYPE_UNI^MDC|||||F
 OBX|155|DTM|720964^MDC_IDC_LEAD_IMPLANT_DT^MDC|5|201205|||||F
 OBX|156|CWE|720966^MDC_IDC_LEAD_LOCATION^MDC|5|753858
 ^MDC_IDC_ENUM_LEAD_LOCATION_CHAMBER_LV^MDC|||||F
 OBX|157|CWE|720967^MDC_IDC_LEAD_LOCATION_DETAIL_1^MDC|5|753922
 ^MDC_IDC_ENUM_LEAD_LOCATION_DETAIL_Apex^MDC|||||F
 OBX|158|CWE|720968^MDC_IDC_LEAD_LOCATION_DETAIL_2^MDC|5|753925
 ^MDC_IDC_ENUM_LEAD_LOCATION_DETAIL_VenaCava^MDC|||||F
 OBX|159|ST|720961^MDC_IDC_LEAD_MODEL^MDC|6|12345|||||F
 OBX|160|ST|720962^MDC_IDC_LEAD_SERIAL^MDC|6|6789|||||F

OBX|161|CWE|720963^MDC_IDC_LEAD_MFG^MDC|6|753731^MDC_IDC_ENUM_MFG_BIO^MDC|||||F
 OBX|162|CWE|720965^MDC_IDC_LEAD_POLARITY_TYPE^MDC|6|753793
 ^MDC_IDC_ENUM_LEAD_POLARITY_TYPE_UNI^MDC|||||F
 OBX|163|DTM|720964^MDC_IDC_LEAD_IMPLANT_DT^MDC|6|201205|||||F
 OBX|164|CWE|720966^MDC_IDC_LEAD_LOCATION^MDC|6|753858
 ^MDC_IDC_ENUM_LEAD_LOCATION_CHAMBER_LV^MDC|||||F
 OBX|165|CWE|720967^MDC_IDC_LEAD_LOCATION_DETAIL_1^MDC|6|753922
 ^MDC_IDC_ENUM_LEAD_LOCATION_DETAIL_Apex^MDC|||||F
 OBX|166|CWE|720968^MDC_IDC_LEAD_LOCATION_DETAIL_2^MDC|6|753925
 ^MDC_IDC_ENUM_LEAD_LOCATION_DETAIL_VenaCava^MDC|||||F
 OBX|167|DTM|721025^MDC_IDC_SESS_DTM^MDC||201001021310-0600|||||F
 OBX|168|CWE|721026^MDC_IDC_SESS_TYPE^MDC||754052
 ^MDC_IDC_ENUM_SESS_TYPE_RemoteDeviceInitiated^MDC|||||F
 OBX|169|ST|721033^MDC_IDC_SESS_CLINIC_NAME
 ^MDC||abcdefghijklmnopqrstuvwxyzabcdefghijklmnopqrstuvwxyz|||||F
 OBX|170|DTM|721216^MDC_IDC_MSMT_BATTERY_DTM^MDC||201205221755+0000|||||F
 OBX|171|CWE|721280^MDC_IDC_MSMT_BATTERY_STATUS^MDC||754113
 ^MDC_IDC_ENUM_BATTERY_STATUS_BOS^MDC|||||F
 OBX|172|NM|721472^MDC_IDC_MSMT_BATTERY_REMAINING_LONGEVITY^MDC||132|mo||>|||F
 OBX|173|NM|721536^MDC_IDC_MSMT_BATTERY_REMAINING_PERCENTAGE^MDC||100|%|||F
 OBX|174|DTM|721664^MDC_IDC_MSMT_CAP_CHARGE_DTM^MDC||201205221755|||||F
 OBX|175|NM|721728^MDC_IDC_MSMT_CAP_CHARGE_TIME^MDC||3.0|s|||F
 OBX|176|CWE|721856^MDC_IDC_MSMT_CAP_CHARGE_TYPE^MDC||754178
 ^MDC_IDC_ENUM_CHARGE_TYPE_Reformation^MDC|||||F
 OBX|177|DTM|721921^MDC_IDC_MSMT_LEADCHNL_RA_DTM_START^MDC||20121211|||||F
 OBX|178|DTM|721922^MDC_IDC_MSMT_LEADCHNL_RA_DTM_END^MDC||20121211|||||F
 OBX|179|CWE|721984^MDC_IDC_MSMT_LEADCHNL_RA_LEAD_CHANNEL_STATUS^MDC||754241
 ^MDC_IDC_ENUM_CHANNEL_STATUS_CheckLead^MDC|||||F
 OBX|180|NM|722051
 ^MDC_IDC_MSMT_LEADCHNL_RA_SENSING_INTR_AMPL_MEAN^MDC||mV||NAV|||F||20121211
 OBX|181|DTM|721925^MDC_IDC_MSMT_LEADCHNL_RV_DTM_START^MDC||19990102|||||F
 OBX|182|DTM|721926^MDC_IDC_MSMT_LEADCHNL_RV_DTM_END^MDC||20121211|||||F
 OBX|183|CWE|721985^MDC_IDC_MSMT_LEADCHNL_RV_LEAD_CHANNEL_STATUS^MDC||754241
 ^MDC_IDC_ENUM_CHANNEL_STATUS_CheckLead^MDC|||||F
 OBX|184|NM|722055
 ^MDC_IDC_MSMT_LEADCHNL_RV_SENSING_INTR_AMPL_MEAN^MDC||0.1|mV||>|||F||20121211
 OBX|185|DTM|721933^MDC_IDC_MSMT_LEADCHNL_LV_DTM_START^MDC||19990102|||||F
 OBX|186|DTM|721934^MDC_IDC_MSMT_LEADCHNL_LV_DTM_END^MDC||20121211|||||F
 OBX|187|CWE|721987^MDC_IDC_MSMT_LEADCHNL_LV_LEAD_CHANNEL_STATUS^MDC||754241
 ^MDC_IDC_ENUM_CHANNEL_STATUS_CheckLead^MDC|||||F
 OBX|188|NM|722063^MDC_IDC_MSMT_LEADCHNL_LV_SENSING_INTR_AMPL_MEAN
 ^MDC||25.0|mV||>|||F||20121211
 OBX|189|CWE|722112^MDC_IDC_MSMT_LEADCHNL_RA_SENSING_POLARITY^MDC||754305
 ^MDC_IDC_ENUM_POLARITY_UNI^MDC|||||F
 OBX|190|CWE|722113^MDC_IDC_MSMT_LEADCHNL_RV_SENSING_POLARITY^MDC||754306
 ^MDC_IDC_ENUM_POLARITY_BI^MDC|||||F
 OBX|191|CWE|722115^MDC_IDC_MSMT_LEADCHNL_LV_SENSING_POLARITY^MDC|||||OFF|||F
 OBX|192|NM|722176^MDC_IDC_MSMT_LEADCHNL_RA_PACING_THRESHOLD_AMPLITUDE
 ^MDC||V||NAV|||F||20121211
 OBX|193|NM|722177^MDC_IDC_MSMT_LEADCHNL_RV_PACING_THRESHOLD_AMPLITUDE
 ^MDC||3.0|V||>|||F||20121211
 OBX|194|NM|722179^MDC_IDC_MSMT_LEADCHNL_LV_PACING_THRESHOLD_AMPLITUDE
 ^MDC||0.0|V|||F||20121210
 OBX|195|NM|722240^MDC_IDC_MSMT_LEADCHNL_RA_PACING_THRESHOLD_PULSEWIDTH
 ^MDC||ms||NAV|||F||19990102
 OBX|196|NM|722241^MDC_IDC_MSMT_LEADCHNL_RV_PACING_THRESHOLD_PULSEWIDTH
 ^MDC||0.4|ms|||F||19990102
 OBX|197|NM|722243^MDC_IDC_MSMT_LEADCHNL_LV_PACING_THRESHOLD_PULSEWIDTH
 ^MDC||0.4|ms|||F||19990102

OBX|198|CWE|722304^MDC_IDC_MSMT_LEADCHNL_RA_PACING_THRESHOLD_MEASUREMENT_METHOD
 ^MDC||754369^MDC_IDC_ENUM_MEASUREMENT_METHOD_ProgrammerManual^MDC|||||F
 OBX|199|CWE|722305^MDC_IDC_MSMT_LEADCHNL_RV_PACING_THRESHOLD_MEASUREMENT_METHOD
 ^MDC||754369^MDC_IDC_ENUM_MEASUREMENT_METHOD_ProgrammerManual^MDC|||||F
 OBX|200|CWE|722307^MDC_IDC_MSMT_LEADCHNL_LV_PACING_THRESHOLD_MEASUREMENT_METHOD
 ^MDC||754369^MDC_IDC_ENUM_MEASUREMENT_METHOD_ProgrammerManual^MDC|||||F
 OBX|201|CWE|722368^MDC_IDC_MSMT_LEADCHNL_RA_PACING_THRESHOLD_POLARITY^MDC||754305
 ^MDC_IDC_ENUM_POLARITY_UNI^MDC|||||F
 OBX|202|CWE|722369^MDC_IDC_MSMT_LEADCHNL_RV_PACING_THRESHOLD_POLARITY^MDC||754306
 ^MDC_IDC_ENUM_POLARITY_BI^MDC|||||F
 OBX|203|CWE|722371^MDC_IDC_MSMT_LEADCHNL_LV_PACING_THRESHOLD_POLARITY^MDC||754306
 ^MDC_IDC_ENUM_POLARITY_BI^MDC|||||F
 OBX|204|NM|722432^MDC_IDC_MSMT_LEADCHNL_RA_IMPEDANCE_VALUE
 ^MDC||200|ohms||>|||F||20121211
 OBX|205|NM|722433^MDC_IDC_MSMT_LEADCHNL_RV_IMPEDANCE_VALUE
 ^MDC||2000|ohms||>|||F||20121211
 OBX|206|NM|722435^MDC_IDC_MSMT_LEADCHNL_LV_IMPEDANCE_VALUE
 ^MDC||201|ohms||>|||F||20121209
 OBX|207|CWE|722496^MDC_IDC_MSMT_LEADCHNL_RA_IMPEDANCE_POLARITY^MDC||754305
 ^MDC_IDC_ENUM_POLARITY_UNI^MDC|||||F
 OBX|208|CWE|722497^MDC_IDC_MSMT_LEADCHNL_RV_IMPEDANCE_POLARITY^MDC||754305
 ^MDC_IDC_ENUM_POLARITY_UNI^MDC|||||F
 OBX|209|CWE|722499^MDC_IDC_MSMT_LEADCHNL_LV_IMPEDANCE_POLARITY^MDC||754306
 ^MDC_IDC_ENUM_POLARITY_BI^MDC|||||F
 OBX|210|DTM|722560^MDC_IDC_MSMT_LEADHVCHNL_DTM_START^MDC|1|20121109|||||F
 OBX|211|NM|722624^MDC_IDC_MSMT_LEADHVCHNL_IMPEDANCE^MDC|1||ohms||NAV|||F
 OBX|212|CWE|722688^MDC_IDC_MSMT_LEADHVCHNL_MEASUREMENT_TYPE
 ^MDC|1|754433^MDC_IDC_ENUM_HVCHNL_MEASUREMENT_TYPE_LowVoltage^MDC|||||F
 OBX|213|CWE|722752^MDC_IDC_MSMT_LEADHVCHNL_STATUS^MDC|1|754241
 ^MDC_IDC_ENUM_CHANNEL_STATUS_CheckLead^MDC|||||F
 OBX|214|NM|729344^MDC_IDC_SET CRT_LVRV_DELAY^MDC||-100|ms|||F
 OBX|215|CWE|729408^MDC_IDC_SET CRT_PACED_CHAMBERS^MDC||755265
 ^MDC_IDC_ENUM_CRT_PACED_CHAMBERS_RV_Only^MDC|||F
 OBX|216|NM|729536^MDC_IDC_SET_LEADCHNL_RA_SENSING_SENSITIVITY^MDC||0.5|mV|||||F
 OBX|217|NM|729537^MDC_IDC_SET_LEADCHNL_RV_SENSING_SENSITIVITY^MDC||0.9|mV|||||F
 OBX|218|NM|729539^MDC_IDC_SET_LEADCHNL_LV_SENSING_SENSITIVITY^MDC||1.0|mV|||||F
 OBX|219|CWE|729600^MDC_IDC_SET_LEADCHNL_RA_SENSING_POLARITY^MDC||||OFF|||F
 OBX|220|CWE|729601^MDC_IDC_SET_LEADCHNL_RV_SENSING_POLARITY^MDC||754305
 ^MDC_IDC_ENUM_POLARITY_UNI^MDC|||||F
 OBX|221|CWE|729676^MDC_IDC_SET_LEADCHNL_LV_SENSING_ANODE_LOCATION^MDC||754498
 ^MDC_IDC_ENUM_ELECTRODE_LOCATION_RV^MDC|||F
 OBX|222|CWE|729740^MDC_IDC_SET_LEADCHNL_LV_SENSING_ANODE_ELECTRODE^MDC||||OFF|||F
 OBX|223|CWE|729804^MDC_IDC_SET_LEADCHNL_LV_SENSING_CATHODE_LOCATION^MDC||||OFF|||F
 OBX|224|CWE|729868^MDC_IDC_SET_LEADCHNL_LV_SENSING_CATHODE_ELECTRODE
 ^MDC||754561^MDC_IDC_ENUM_ELECTRODE_NAME_Tip^MDC|||||F
 OBX|225|CWE|729920^MDC_IDC_SET_LEADCHNL_RA_SENSING_ADAPTATION_MODE^MDC||754625
 ^MDC_IDC_ENUM_SENSING_ADAPTATION_MODE_AdaptiveSensing^MDC|||||F
 OBX|226|CWE|729921^MDC_IDC_SET_LEADCHNL_RV_SENSING_ADAPTATION_MODE^MDC||754625
 ^MDC_IDC_ENUM_SENSING_ADAPTATION_MODE_AdaptiveSensing^MDC|||||F
 OBX|227|CWE|729923^MDC_IDC_SET_LEADCHNL_LV_SENSING_ADAPTATION_MODE^MDC||754626
 ^MDC_IDC_ENUM_SENSING_ADAPTATION_MODE_FixedSensing^MDC|||||F
 OBX|228|NM|729984^MDC_IDC_SET_LEADCHNL_RA_PACING_AMPLITUDE^MDC||5.1|V|||||F
 OBX|229|NM|729985^MDC_IDC_SET_LEADCHNL_RV_PACING_AMPLITUDE^MDC||5.0|V|||||F
 OBX|230|NM|729987^MDC_IDC_SET_LEADCHNL_LV_PACING_AMPLITUDE^MDC||2.8|V|||||F
 OBX|231|NM|730048^MDC_IDC_SET_LEADCHNL_RA_PACING_PULSEWIDTH^MDC||100.0|ms|||||F
 OBX|232|NM|730049^MDC_IDC_SET_LEADCHNL_RV_PACING_PULSEWIDTH^MDC||200.0|ms|||||F
 OBX|233|NM|730051^MDC_IDC_SET_LEADCHNL_LV_PACING_PULSEWIDTH^MDC||300.0|ms|||||F
 OBX|234|CWE|730112^MDC_IDC_SET_LEADCHNL_RA_PACING_POLARITY^MDC||754305
 ^MDC_IDC_ENUM_POLARITY_UNI^MDC|||||F

OBX|235|CWE|730113^MDC_IDC_SET_LEADCHNL_RV_PACING_POLARITY^MDC||754305
 ^MDC_IDC_ENUM_POLARITY_UNI^MDC|||||F
 OBX|236|CWE|730188^MDC_IDC_SET_LEADCHNL_LV_PACING_ANODE_LOCATION^MDC||754498
 ^MDC_IDC_ENUM_ELECTRODE_LOCATION_RV^MDC|||||F
 OBX|237|CWE|730252^MDC_IDC_SET_LEADCHNL_LV_PACING_ANODE_ELECTRODE^MDC||754564
 ^MDC_IDC_ENUM_ELECTRODE_NAME_Ring2^MDC|||||F
 OBX|238|CWE|730316^MDC_IDC_SET_LEADCHNL_LV_PACING_CATHODE_LOCATION^MDC||754500
 ^MDC_IDC_ENUM_ELECTRODE_LOCATION_LV^MDC|||||F
 OBX|239|CWE|730380^MDC_IDC_SET_LEADCHNL_LV_PACING_CATHODE_ELECTRODE^MDC||754566
 ^MDC_IDC_ENUM_ELECTRODE_NAME_Ring4^MDC|||||F
 OBX|240|CWE|730432^MDC_IDC_SET_LEADCHNL_RA_PACING_CAPTURE_MODE^MDC||754690
 ^MDC_IDC_ENUM_PACING_CAPTURE_MODE_FixedPacing^MDC|||||F
 OBX|241|CWE|730433^MDC_IDC_SET_LEADCHNL_RV_PACING_CAPTURE_MODE^MDC||754691
 ^MDC_IDC_ENUM_PACING_CAPTURE_MODE_MonitorCapture^MDC|||||F
 OBX|242|CWE|730435^MDC_IDC_SET_LEADCHNL_LV_PACING_CAPTURE_MODE^MDC||754690
 ^MDC_IDC_ENUM_PACING_CAPTURE_MODE_FixedPacing^MDC|||||F
 OBX|243|CWE|730752^MDC_IDC_SET_BRADY_MODE^MDC||754760^MDC_IDC_ENUM_BRADY_MODE_DDD
 ^MDC|||||F
 OBX|244|NM|730880^MDC_IDC_SET_BRADY_LOWRATE^MDC||100|{beats}/min|||||F
 OBX|245|ST|731072^MDC_IDC_SET_BRADY_SENSOR_TYPE^MDC||Accelerometer + MV|||||F
 (Accelerometer + MV)
 OBX|246|NM|731136^MDC_IDC_SET_BRADY_MAX_TRACKING_RATE^MDC||130|{beats}/min|||||F
 OBX|247|NM|731200^MDC_IDC_SET_BRADY_MAX_SENSOR_RATE^MDC||180|{beats}/min|||||F
 OBX|248|NM|731265^MDC_IDC_SET_BRADY_SAV_DELAY_HIGH^MDC||102|ms|||||F
 OBX|249|NM|731266^MDC_IDC_SET_BRADY_SAV_DELAY_LOW^MDC||101|ms|||||F
 OBX|250|NM|731329^MDC_IDC_SET_BRADY_PAV_DELAY_HIGH^MDC||104|ms|||||F
 OBX|251|NM|731330^MDC_IDC_SET_BRADY_PAV_DELAY_LOW^MDC||103|ms|||||F
 OBX|252|CWE|731392^MDC_IDC_SET_BRADY_AT_MODE_SWITCH_MODE^MDC||754763
 ^MDC_IDC_ENUM_BRADY_MODE_DDIR^MDC|||||F
 OBX|253|NM|731456^MDC_IDC_SET_BRADY_AT_MODE_SWITCH_RATE^MDC||130|{beats}/min|||||F
 OBX|254|CWE|731520^MDC_IDC_SET_TACHYTHERAPY_VSTAT^MDC||754817
 ^MDC_IDC_ENUM_THERAPY_STATUS_On^MDC|||||F
 OBX|255|CWE|731648^MDC_IDC_SET_ZONE_TYPE^MDC|1|754945^MDC_IDC_ENUM_ZONE_TYPE_Zone_VF
 ^MDC|||||F
 OBX|256|CWE|731712^MDC_IDC_SET_ZONE_VENDOR_TYPE^MDC|1|771139
 ^MDC_IDC_ENUM_ZONE_VENDOR_TYPE_BSX-Zone_VF^MDC|||||F
 OBX|257|CWE|731776^MDC_IDC_SET_ZONE_STATUS^MDC|1|755009
 ^MDC_IDC_ENUM_ZONE_STATUS_Active^MDC|||||F
 OBX|258|NM|731840^MDC_IDC_SET_ZONE_DETECTION_INTERVAL^MDC|1|462|ms|||||F
 OBX|259|CWE|732097^MDC_IDC_SET_ZONE_TYPE_ATP_1^MDC|1|755073
 ^MDC_IDC_ENUM_ATP_TYPE_Burst^MDC|||||F
 OBX|260|NM|732161^MDC_IDC_SET_ZONE_NUM_ATP_SEQS_1^MDC|1|1|||||F
 OBX|261|NM|732225^MDC_IDC_SET_ZONE_SHOCK_ENERGY_1^MDC|1|21.1|J|||||F
 OBX|262|NM|732289^MDC_IDC_SET_ZONE_NUM_SHOCKS_1^MDC|1|1|||||F
 OBX|263|NM|732226^MDC_IDC_SET_ZONE_SHOCK_ENERGY_2^MDC|1|31.1|J|||||F
 OBX|264|NM|732290^MDC_IDC_SET_ZONE_NUM_SHOCKS_2^MDC|1|1|||||F
 OBX|265|NM|732227^MDC_IDC_SET_ZONE_SHOCK_ENERGY_3^MDC|1|41.1|J|||||F
 OBX|266|NM|732291^MDC_IDC_SET_ZONE_NUM_SHOCKS_3^MDC|1|6|||||F
 OBX|267|CWE|731648^MDC_IDC_SET_ZONE_TYPE^MDC|2|754946^MDC_IDC_ENUM_ZONE_TYPE_Zone_VT
 ^MDC|||||F
 OBX|268|CWE|731712^MDC_IDC_SET_ZONE_VENDOR_TYPE^MDC|2|771137
 ^MDC_IDC_ENUM_ZONE_VENDOR_TYPE_BSX-Zone_VT^MDC|||||F
 OBX|269|CWE|731776^MDC_IDC_SET_ZONE_STATUS^MDC|2|755009
 ^MDC_IDC_ENUM_ZONE_STATUS_Active^MDC|||||F
 OBX|270|NM|731840^MDC_IDC_SET_ZONE_DETECTION_INTERVAL^MDC|2|463|ms|||||F
 OBX|271|CWE|732097^MDC_IDC_SET_ZONE_TYPE_ATP_1^MDC|2|755073
 ^MDC_IDC_ENUM_ATP_TYPE_Burst^MDC|||||F
 OBX|272|NM|732161^MDC_IDC_SET_ZONE_NUM_ATP_SEQS_1^MDC|2|2|||||F
 OBX|273|CWE|732098^MDC_IDC_SET_ZONE_TYPE_ATP_2^MDC|2|755074




Ukážkové hlásenie 3 – Ostatné liečebné zariadenia (nie S-ICD)

```
^MDC_IDC_ENUM_ATP_TYPE_Ramp^MDC|||||F
OBX|274|NM|732162^MDC_IDC_SET_ZONE_NUM_ATP_SEQS_2^MDC|2|3|||||F
OBX|275|NM|732225^MDC_IDC_SET_ZONE_SHOCK_ENERGY_1^MDC|2|22.2|J|||||F
OBX|276|NM|732289^MDC_IDC_SET_ZONE_NUM_SHOCKS_1^MDC|2|1|||||F
OBX|277|NM|732226^MDC_IDC_SET_ZONE_SHOCK_ENERGY_2^MDC|2|32.2|J|||||F
OBX|278|NM|732290^MDC_IDC_SET_ZONE_NUM_SHOCKS_2^MDC|2|1|||||F
OBX|279|NM|732227^MDC_IDC_SET_ZONE_SHOCK_ENERGY_3^MDC|2|42.2|J|||||F
OBX|280|NM|732291^MDC_IDC_SET_ZONE_NUM_SHOCKS_3^MDC|2|3|||||F
OBX|281|CWE|731648^MDC_IDC_SET_ZONE_TYPE^MDC|3|754946^MDC_IDC_ENUM_ZONE_TYPE_Zone_VT
^MDC|||||F
OBX|282|CWE|731712^MDC_IDC_SET_ZONE_VENDOR_TYPE^MDC|3|771138
^MDC_IDC_ENUM_ZONE_VENDOR_TYPE_BSX-Zone_VT-1^MDC|||||F
OBX|283|CWE|731776^MDC_IDC_SET_ZONE_STATUS^MDC|3|755009
^MDC_IDC_ENUM_ZONE_STATUS_Active^MDC|||||F
OBX|284|NM|731840^MDC_IDC_SET_ZONE_DETECTION_INTERVAL^MDC|3|465|ms|||||F
OBX|285|CWE|732097^MDC_IDC_SET_ZONE_TYPE_ATP_1^MDC|3|755074
^MDC_IDC_ENUM_ATP_TYPE_Ramp^MDC|||||F
OBX|286|NM|732161^MDC_IDC_SET_ZONE_NUM_ATP_SEQS_1^MDC|3|4|||||F
OBX|287|CWE|732098^MDC_IDC_SET_ZONE_TYPE_ATP_2^MDC|3|755076
^MDC_IDC_ENUM_ATP_TYPE_RampScan^MDC|||||F
OBX|288|NM|732162^MDC_IDC_SET_ZONE_NUM_ATP_SEQS_2^MDC|3|5|||||F
OBX|289|NM|732225^MDC_IDC_SET_ZONE_SHOCK_ENERGY_1^MDC|3|23.2|J|||||F
OBX|290|NM|732289^MDC_IDC_SET_ZONE_NUM_SHOCKS_1^MDC|3|1|||||F
OBX|291|NM|732226^MDC_IDC_SET_ZONE_SHOCK_ENERGY_2^MDC|3|33.2|J|||||F
OBX|292|NM|732290^MDC_IDC_SET_ZONE_NUM_SHOCKS_2^MDC|3|1|||||F
OBX|293|NM|732227^MDC_IDC_SET_ZONE_SHOCK_ENERGY_3^MDC|3|43.2|J|||||F
OBX|294|NM|732291^MDC_IDC_SET_ZONE_NUM_SHOCKS_3^MDC|3|2|||||F
OBX|295|DTM|737489^MDC_IDC_STAT_DTM_START^MDC||20120522|||||F
OBX|296|DTM|737490^MDC_IDC_STAT_DTM_END^MDC||20120522|||||F
OBX|297|DTM|737505^MDC_IDC_STAT_BRADY_DTM_START^MDC||20120522|||||F
OBX|298|DTM|737506^MDC_IDC_STAT_BRADY_DTM_END^MDC||20120522|||||F
OBX|299|NM|737520^MDC_IDC_STAT_BRADY_RA_PERCENT_PACED^MDC||0%|||||F
OBX|300|NM|737536^MDC_IDC_STAT_BRADY_RV_PERCENT_PACED^MDC||0%|||||F
OBX|301|DTM|737777^MDC_IDC_STAT_CRT_DTM_START^MDC||20120522|||||F
OBX|302|DTM|737778^MDC_IDC_STAT_CRT_DTM_END^MDC||20120522|||||F
OBX|303|NM|737792^MDC_IDC_STAT_CRT_LV_PERCENT_PACED^MDC||0%|||||F
OBX|304|CWE|737952^MDC_IDC_STAT_EPISODE_TYPE^MDC|1|754882
^MDC_IDC_ENUM_EPISODE_TYPE_Epis_VT^MDC|||||F
OBX|305|CWE|737984^MDC_IDC_STAT_EPISODE_VENDOR_TYPE^MDC|1|771077
^MDC_IDC_ENUM_EPISODE_VENDOR_TYRE_BSX-Epis_NSVT^MDC|||||F
OBX|306|NM|738000^MDC_IDC_STAT_EPISODE_RECENT_COUNT^MDC|1|0|||||F
OBX|307|DTM|738017^MDC_IDC_STAT_EPISODE_RECENT_COUNT_DTM_START^MDC|1|20120522|||||F
OBX|308|DTM|738018^MDC_IDC_STAT_EPISODE_RECENT_COUNT_DTM_END^MDC|1|20120522|||||F
OBX|309|CWE|737952^MDC_IDC_STAT_EPISODE_TYPE^MDC|1|754882
^MDC_IDC_ENUM_EPISODE_TYPE_Epis_VT^MDC|||||F
OBX|310|CWE|737984^MDC_IDC_STAT_EPISODE_VENDOR_TYPE^MDC|1|771077
OBX|311|NM|738000^MDC_IDC_STAT_EPISODE_RECENT_COUNT^MDC|1|0|||||F
OBX|312|DTM|738017^MDC_IDC_STAT_EPISODE_RECENT_COUNT_DTM_START^MDC|1|20120522|||||F
OBX|313|DTM|738018^MDC_IDC_STAT_EPISODE_RECENT_COUNT_DTM_END^MDC|1|20120522|||||F
OBX|314|CWE|737952^MDC_IDC_STAT_EPISODE_TYPE^MDC|2|754884
^MDC_IDC_ENUM_EPISODE_TYPE_Epis_SVT^MDC|||||F
OBX|315|CWE|737984^MDC_IDC_STAT_EPISODE_VENDOR_TYPE^MDC|2|771076
MDC_IDC_ENUM_EPISODE_VENDOR_TYPE_BSX-Epis_SVT^MDC|||||F
OBX|316|NM|738000^MDC_IDC_STAT_EPISODE_RECENT_COUNT^MDC|2|0|||||F
OBX|317|DTM|738017^MDC_IDC_STAT_EPISODE_RECENT_COUNT_DTM_START^MDC|2|20120522|||||F
OBX|318|DTM|738018^MDC_IDC_STAT_EPISODE_RECENT_COUNT_DTM_END^MDC|2|20120522|||||F
OBX|319|CWE|737952^MDC_IDC_STAT_EPISODE_TYPE^MDC|4|754883
^MDC_IDC_ENUM_EPISODE_TYPE_Epis_ATAF^MDC|||||F
OBX|320|CWE|737984^MDC_IDC_STAT_EPISODE_VENDOR_TYPE^MDC|4|771078
```

```
^MDC_IDC_ENUM_EPISODE_VENDOR_TYPE_BSX-Epis_ATR^MDC|||||F
OBX|321|NM|738000^MDC_IDC_STAT_EPISODE_RECENT_COUNT^MDC|4|0|||||F
OBX|322|DTM|738017^MDC_IDC_STAT_EPISODE_RECENT_COUNT_DTM_START^MDC|4|20120522|||||F
OBX|323|DTM|738018^MDC_IDC_STAT_EPISODE_RECENT_COUNT_DTM_END^MDC|4|20120522|||||F
OBX|324|CWE|737952^MDC_IDC_STAT_EPISODE_TYPE^MDC|5|754888
^MDC_IDC_ENUM_EPISODE_TYPE_Epis_Other^MDC|||||F
OBX|325|CWE|737984^MDC_IDC_STAT_EPISODE_VENDOR_TYPE^MDC|5|||||F
OBX|326|NM|738000^MDC_IDC_STAT_EPISODE_RECENT_COUNT^MDC|5|0|||||F
OBX|327|DTM|738017^MDC_IDC_STAT_EPISODE_RECENT_COUNT_DTM_START^MDC|5|20120522|||||F
OBX|328|DTM|738018^MDC_IDC_STAT_EPISODE_RECENT_COUNT_DTM_END^MDC|5|20120522|||||F
OBX|329|CWE|737952^MDC_IDC_STAT_EPISODE_TYPE^MDC|6|754881
^MDC_IDC_ENUM_EPISODE_TYPE_Epis_VF^MDC|||||F
OBX|330|CWE|737984^MDC_IDC_STAT_EPISODE_VENDOR_TYPE^MDC|6|771073
^MDC_IDC_ENUM_EPISODE_VENDOR_TYPE_BSX-Epis_VF^MDC|||||F
OBX|331|NM|738000^MDC_IDC_STAT_EPISODE_RECENT_COUNT^MDC|6|1|||||F
OBX|332|DTM|738017^MDC_IDC_STAT_EPISODE_RECENT_COUNT_DTM_START^MDC|6|20120522|||||F
OBX|333|DTM|738018^MDC_IDC_STAT_EPISODE_RECENT_COUNT_DTM_END^MDC|6|20120522|||||F
OBX|334|CWE|737952^MDC_IDC_STAT_EPISODE_TYPE^MDC|7|754882
^MDC_IDC_ENUM_EPISODE_TYPE_Epis_VT^MDC|||||F
OBX|335|CWE|737984^MDC_IDC_STAT_EPISODE_VENDOR_TYPE^MDC|7|771074
^MDC_IDC_ENUM_EPISODE_VENDOR_TYPE_BSX-Epis_VT^MDC|||||F
OBX|336|NM|738000^MDC_IDC_STAT_EPISODE_RECENT_COUNT^MDC|7|2|||||F
OBX|337|DTM|738017^MDC_IDC_STAT_EPISODE_RECENT_COUNT_DTM_START^MDC|7|20120522|||||F
OBX|338|DTM|738018^MDC_IDC_STAT_EPISODE_RECENT_COUNT_DTM_END^MDC|7|20120522|||||F
OBX|339|CWE|737952^MDC_IDC_STAT_EPISODE_TYPE^MDC|8|754882
^MDC_IDC_ENUM_EPISODE_TYPE_Epis_VT^MDC|4|||F
OBX|340|CWE|737984^MDC_IDC_STAT_EPISODE_VENDOR_TYPE^MDC|8|771075
^MDC_IDC_ENUM_EPISODE_VENDOR_TYPE_BSX-Epis_VT-1^MDC|4|||F
OBX|341|NM|738000^MDC_IDC_STAT_EPISODE_RECENT_COUNT^MDC|8|3|||||F
OBX|342|DTM|738017^MDC_IDC_STAT_EPISODE_RECENT_COUNT_DTM_START^MDC|8|20120522|||||F
OBX|343|DTM|738018^MDC_IDC_STAT_EPISODE_RECENT_COUNT_DTM_END^MDC|8|20120522|||||F
OBX|344|CWE|737952^MDC_IDC_STAT_EPISODE_TYPE^MDC|9|754884
^MDC_IDC_ENUM_EPISODE_TYPE_Epis_Monitor^MDC|4|||F
OBX|345|CWE|737984^MDC_IDC_STAT_EPISODE_VENDOR_TYPE^MDC|9|||||F
OBX|346|NM|738000^MDC_IDC_STAT_EPISODE_RECENT_COUNT^MDC|9|4|||||F
OBX|347|DTM|738017^MDC_IDC_STAT_EPISODE_RECENT_COUNT_DTM_START^MDC|9|20120522|||||F
OBX|348|DTM|738018^MDC_IDC_STAT_EPISODE_RECENT_COUNT_DTM_END^MDC|9|20120522|||||F
```

SYMBOLY NA ŠTÍTKOCH

PRÍLOHA A

Symbol	Význam
	Výrobca
	Splnomocnený zástupca v Európskom spoločenstve
	Adresa sponzora pre Austráliu

Остаряла версия. Да не се използва.
 Zastaralá verze. Nepoužívat.
 Forældet version. Må ikke anvendes.
 Version überholt. Nicht verwenden.
 Version obsolete. Mην την χρησιμοποιείτε.
 Παλιά έκδοση. Μην την χρησιμοποιείτε.
 Outdated version. Do not use.
 Versión obsoleta. Ne utilizar.
 Version périmée. Ne pas utiliser.
 Zastarjela verzija. Neizmantot.
 Úrejt útɡáfa. Notið ekki.
 Versione obsolete. Nemojite upotrebljavati.
 Zastarjela verzija. Ne utilizzare.
 Úrejt útɡáfa. Notið ekki.
 Pasenusi versija. Nenaudokite.
 Elavult verzió. Ne használja!
 Dit is een verouderde versie. Niet gebruiken.
 Utdatert versjon. Skal ikke brukes.
 Wersja przeterminowana. Nie używać.
 Versão obsoleta. Não utilize.
 Zastaraná verzia. Nepoužívať.
 Zastarela različica. Ne uporabite.
 Vanhentunut versio. Älä käytä.
 Föråldrad version. Använd ej.
 Güncel olmayan sürüm. Kullanmayın.

Остаряла версия. Да не се използва.
Zastaralá verze. Nepoužívat.
Forældet version. Må ikke anvendes.
Version überholt. Nicht verwenden.
Version outdated. Μην την χρησιμοποιείτε.
Παλιά έκδοση. Μην την χρησιμοποιείτε.
Outdated version. Do not use.
Version obsolete. Ne utilizar.
Version périmée. Ne pas utiliser.
Zastarjela verzija. Nemojte upotrebljavati.
Úrejt útgáfa. Notið ekki.
Versione obsoleta. Non utilizzare.
Zastarjela verzija. Neizmantot.
Pasenusi versija. Nenaudokite.
Elavult verzió. Ne használja!
Utdatert versjon. Nenaudokite.
Wersja przeterminowana. Nie używać.
Versão obsoleta. Não utilize.
Versione expirată. A nu se utiliza.
Zastaraná verzia. Nepoužívať.
Zastarela različica. Ne uporabite.
Vanhentunut versio. Älä käytä.
Föråldrad version. Använd ej.
Güncel olmayan sürüm. Kullanmayın.

Остаряла версия. Да не се използва.
Zastaralá verze. Nepoužívát.
Forældet version. Må ikke anvendes.
Version überholt. Nicht verwenden.
Aegunud versioón. Myn þyn Χρησιμοποιείτε.
Παλιά έκδοση. Μην την Χρησιμοποιείτε.
Outdated version. Do not use.
Version obsoleta. No utilizar.
Zastarjela verzija. Nemojte upotrebljavati.
Úrelt útgáfa. Notið ekki.
Versione obsoleta. Non utilizzare.
Zastarjela verzija. Neizmantot.
Novcojusi versija. Nenaudokite.
Pasenusi versija. Ne használja!
Elavult verzió. Ne használja!
Dit is een verouderde versie. Niet gebruiken.
Utdatert versjon. Skal ikke brukes.
Wersja przeterminowana. Nie używać.
Versão expiratã. A nu se utiliza.
Zastaraná verzia. Nepoužívát.
Zastarela različica. Ne uporabite.
Vanhentunut versio. Älä käytä.
Föråldrad version. Använd ej.
Güncel olmayan sürüm. Kullanmayın.

**Manufacturer**

Boston Scientific Corporation
4100 Hamline Avenue North
St. Paul, MN 55112-5798 USA

EC REP**Authorized Representative in the European Community**

Guidant Europe NV/SA; Boston Scientific
Green Square, Lambroekstraat 5D
1831 Diegem, Belgium

AUS**Australian Sponsor Address**

Boston Scientific (Australia) Pty Ltd
PO Box 332
BOTANY NSW 1455 Australia
Free Phone 1 800 676 133
Free Fax 1 800 836 666

Cardiac Pacemakers Incorporated
4100 Hamline Avenue North
St. Paul, MN 55112-5798 USA

www.bostonscientific.com

1.800.CARDIAC (227.3422)

+1.651.582.4000

© 2019 Boston Scientific Corporation or its affiliates.

All rights reserved.

92290289-008 SK Global 2019-11

